

物理シミュレーションのための 同変グラフニューラルネットワーク

Deep learning and Physics

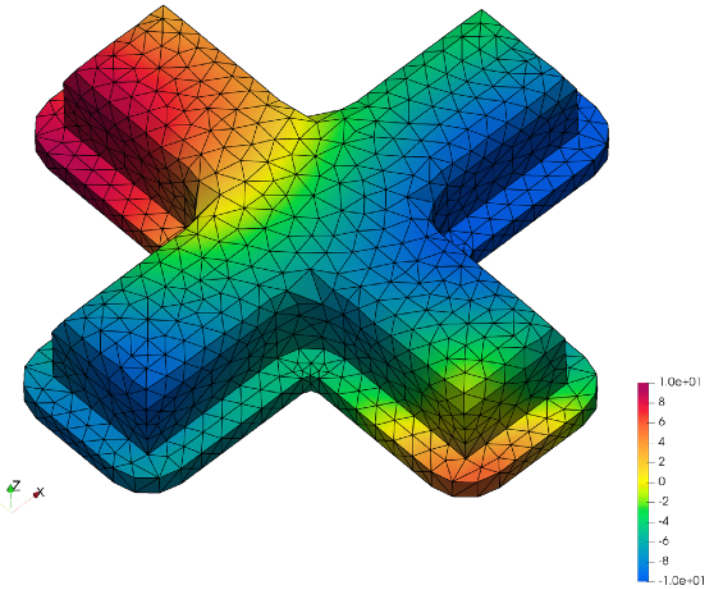
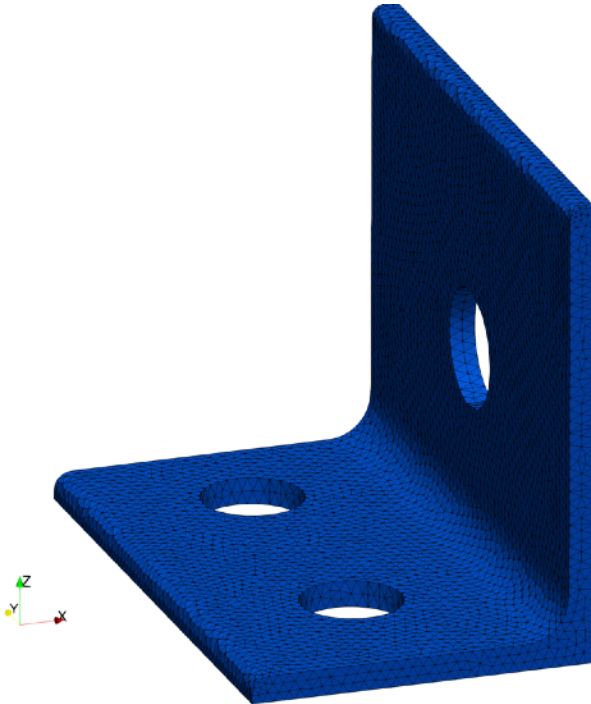
2021 年 4 月 22 日



堀江正信

株式会社科学計算総合研究所
筑波大学システム情報工学研究群

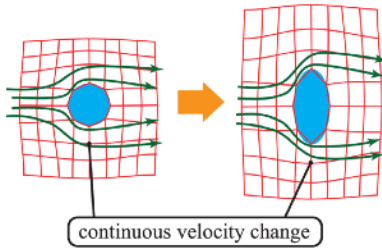
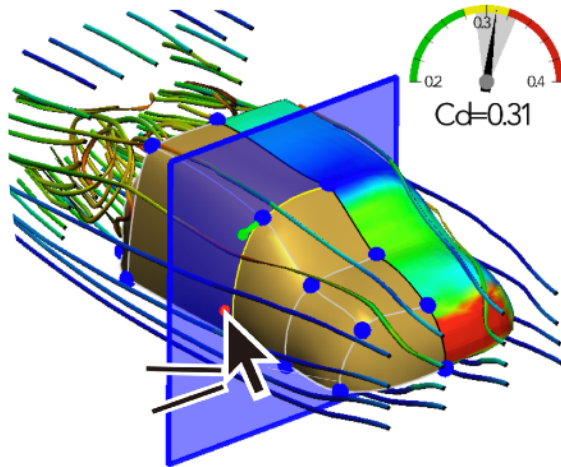
背景：物理シミュレーションを軽量化したい



流体

- ・シミュレーションは製品の物理特性の評価において重要
 - ・計算時間が長く、シミュレーションを用いた最適化が困難な場合がある
- 軽量なモデル（サロゲートモデル）で重いシミュレーションを置き換えたい

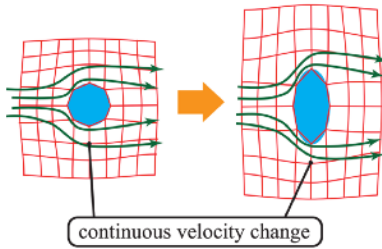
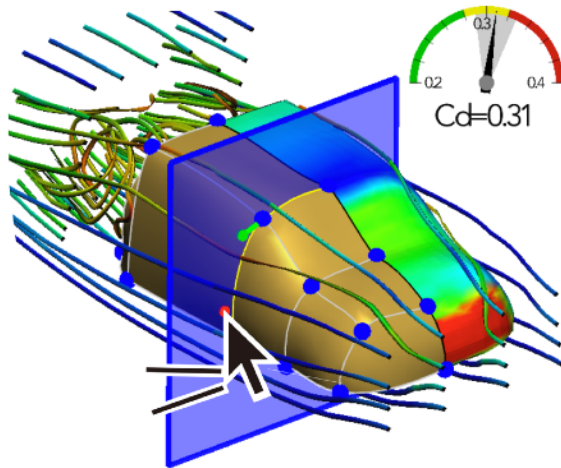
関連研究：物理シミュレーションの機械学習



Umetani+ 2018

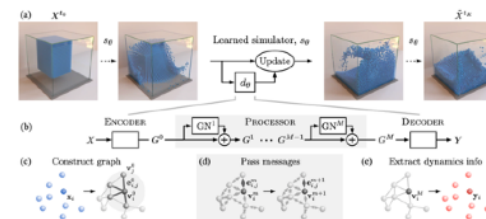
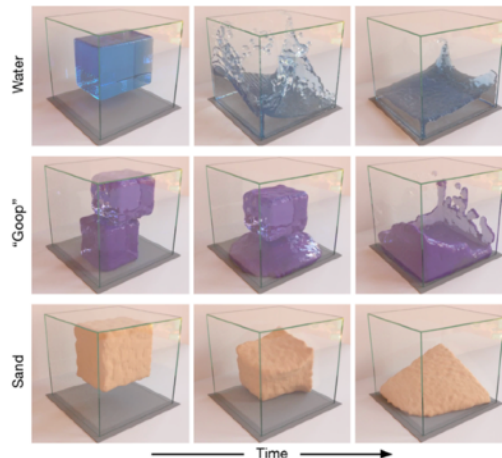
- リアルタイムで
車体の空力性能予測
- メッシュ構造固定

関連研究：物理シミュレーションの機械学習



Umetani+ 2018

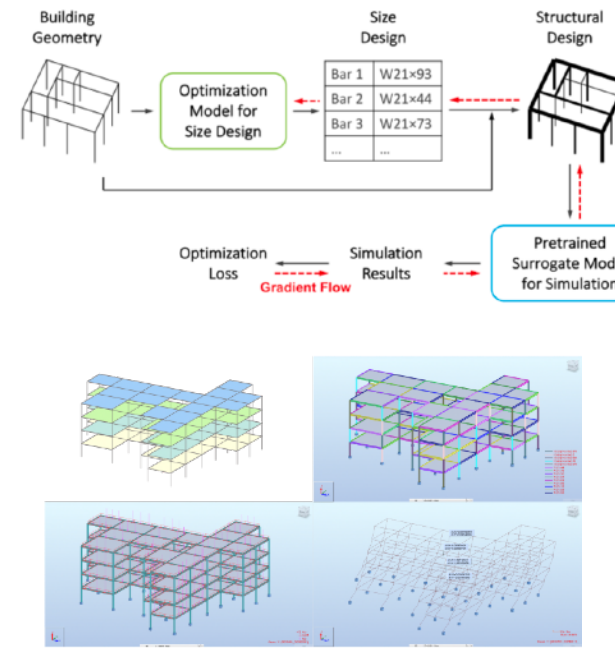
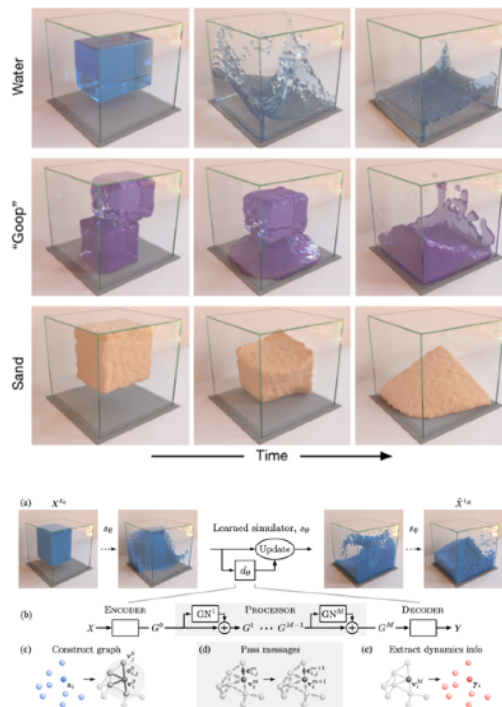
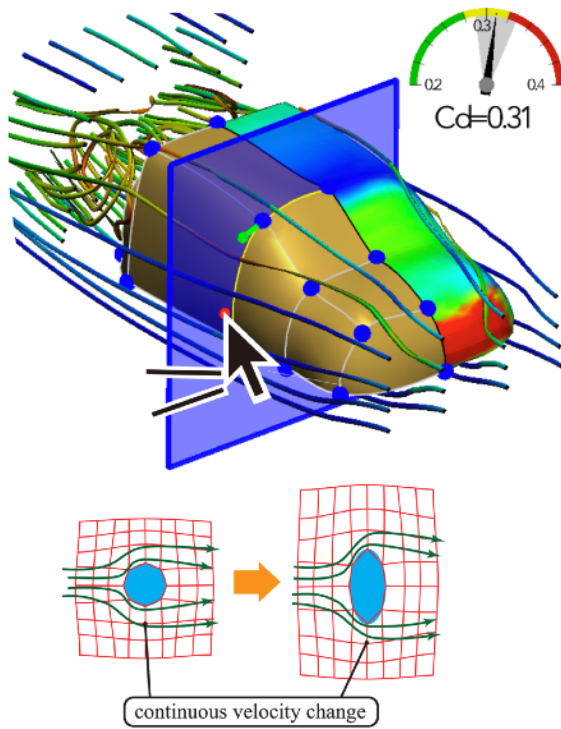
- リアルタイムで車体の空力性能予測
- メッシュ構造固定



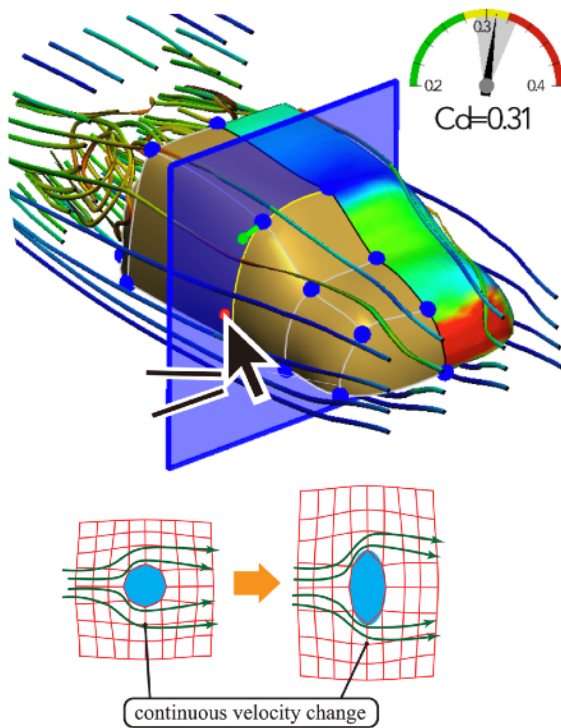
Sanchez-Gonzalez+ 2020

- 任意点群での学習
- 高速化は未達成

関連研究：物理シミュレーションの機械学習

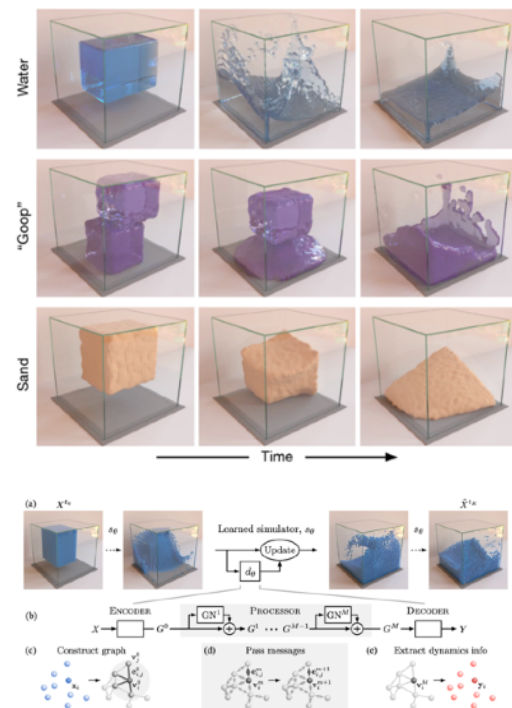


関連研究：物理シミュレーションの機械学習



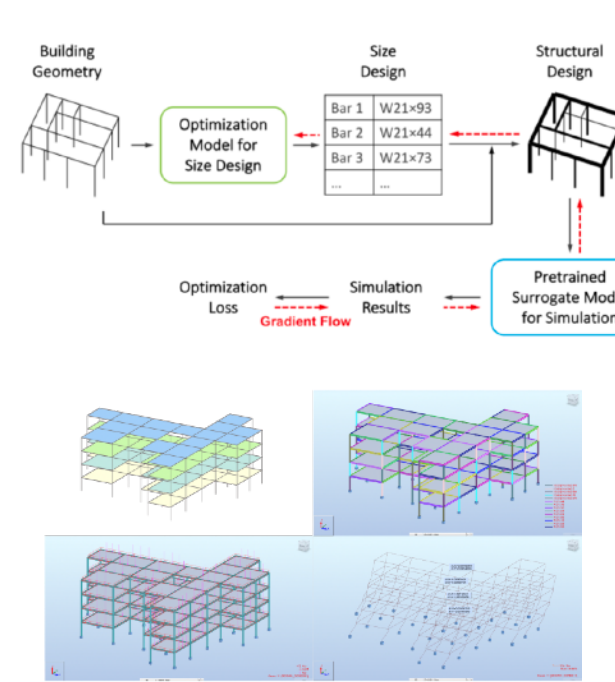
Umetani+ 2018

- リアルタイムで車体の空力性能予測
- メッシュ構造固定



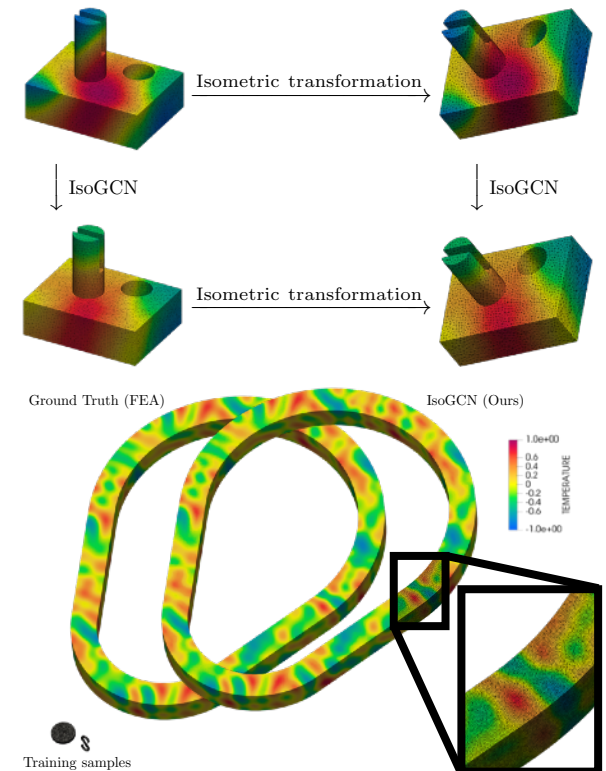
Sanchez-Gonzalez+ 2020

- 任意点群での学習
- 高速化は未達成



Chang+ 2020

- 任意梁構造での学習
- 梁部材選定の最適化

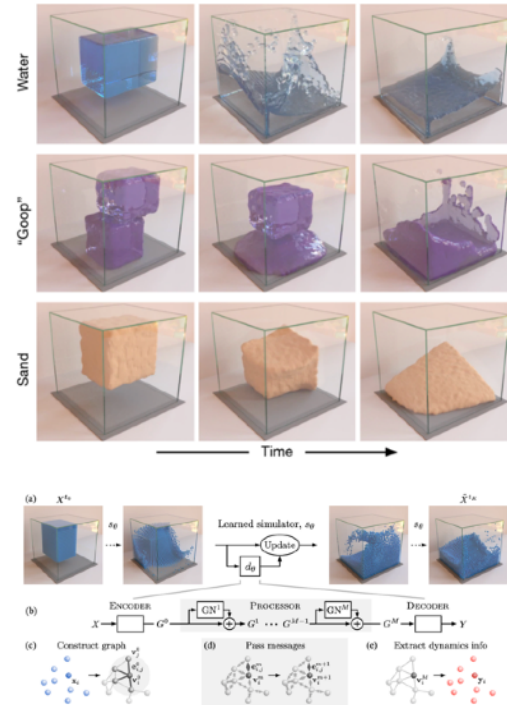
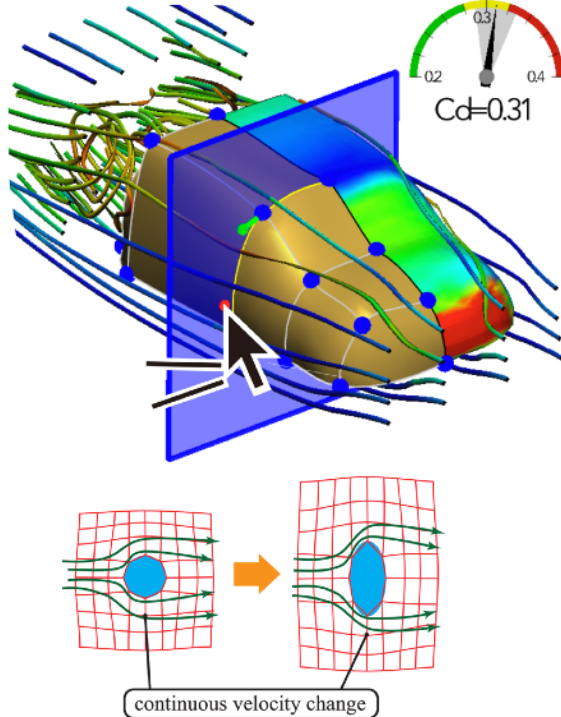


Horie+ 2020 (IsoGCN)

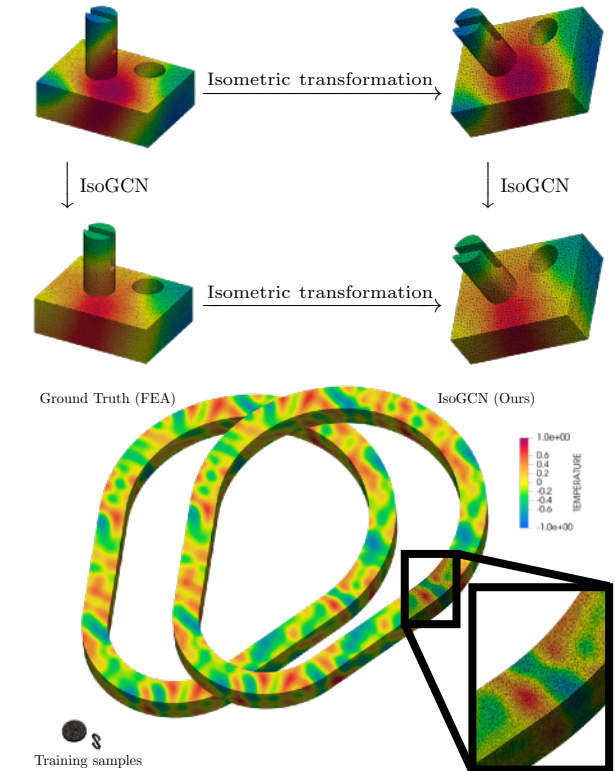
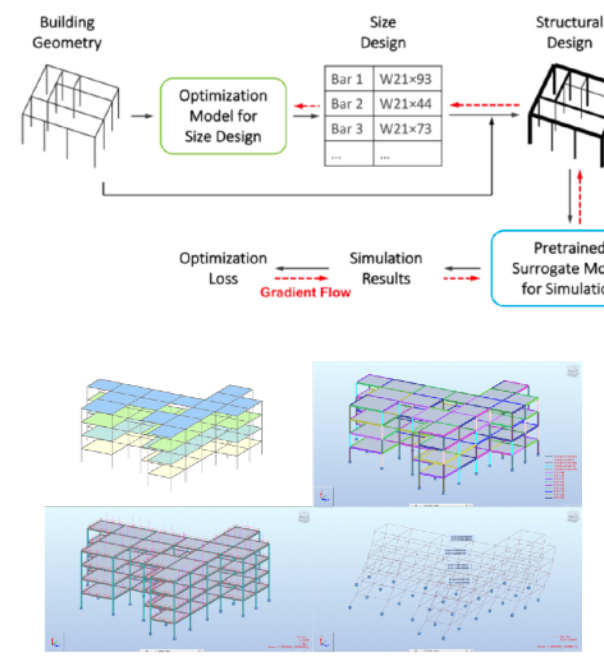
- 任意メッシュでの学習
- 高速化を達成
- 物理現象の対称性を考慮

関連研究：物理シミュレーションの機械学習

→ Graph Neural Network の適用



→ 同変性の導入



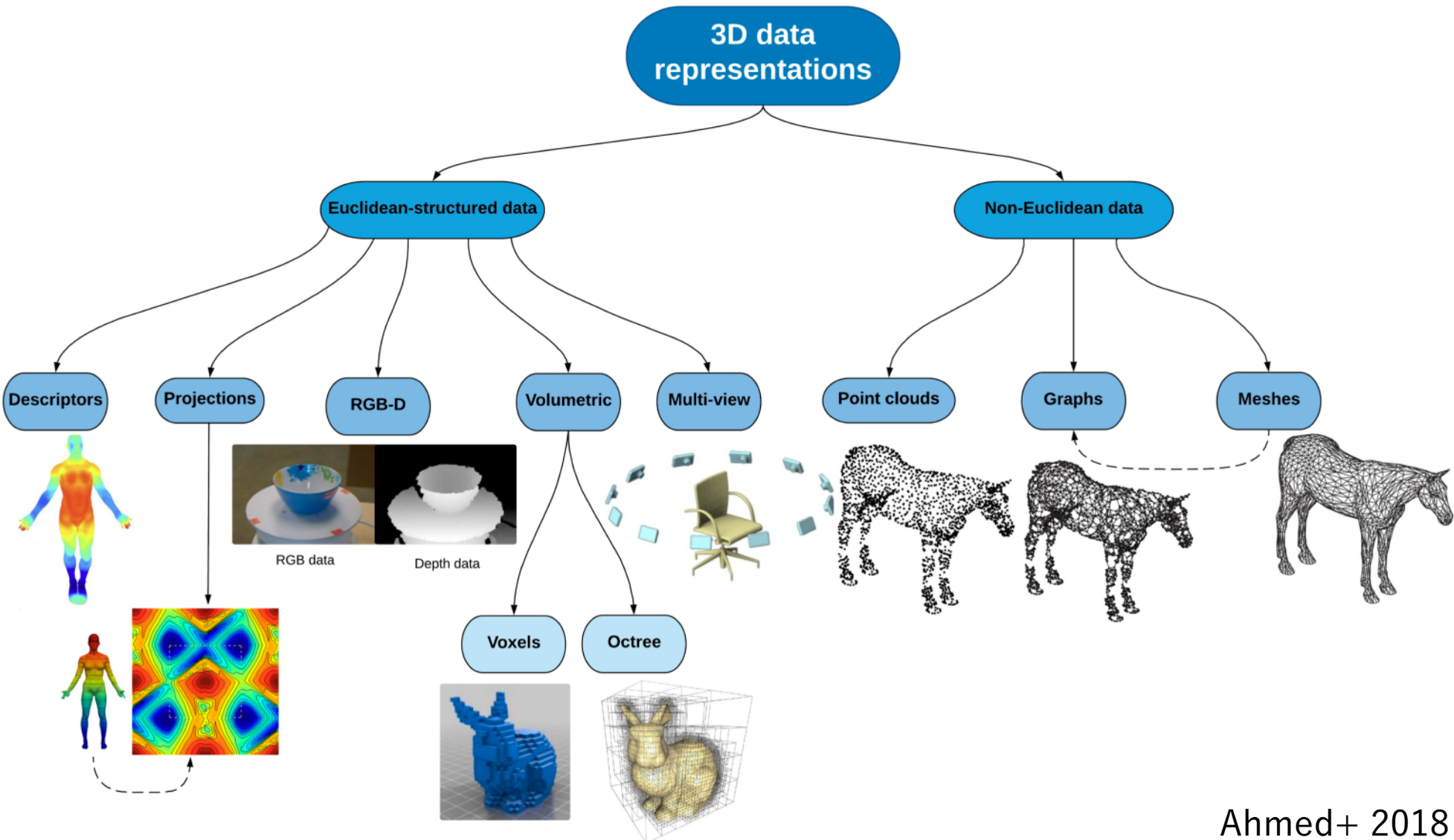
目次

- Graph neural network
- 同変性
- IsoGCN: 同変性 + Graph Neural Network
- まとめ

目次

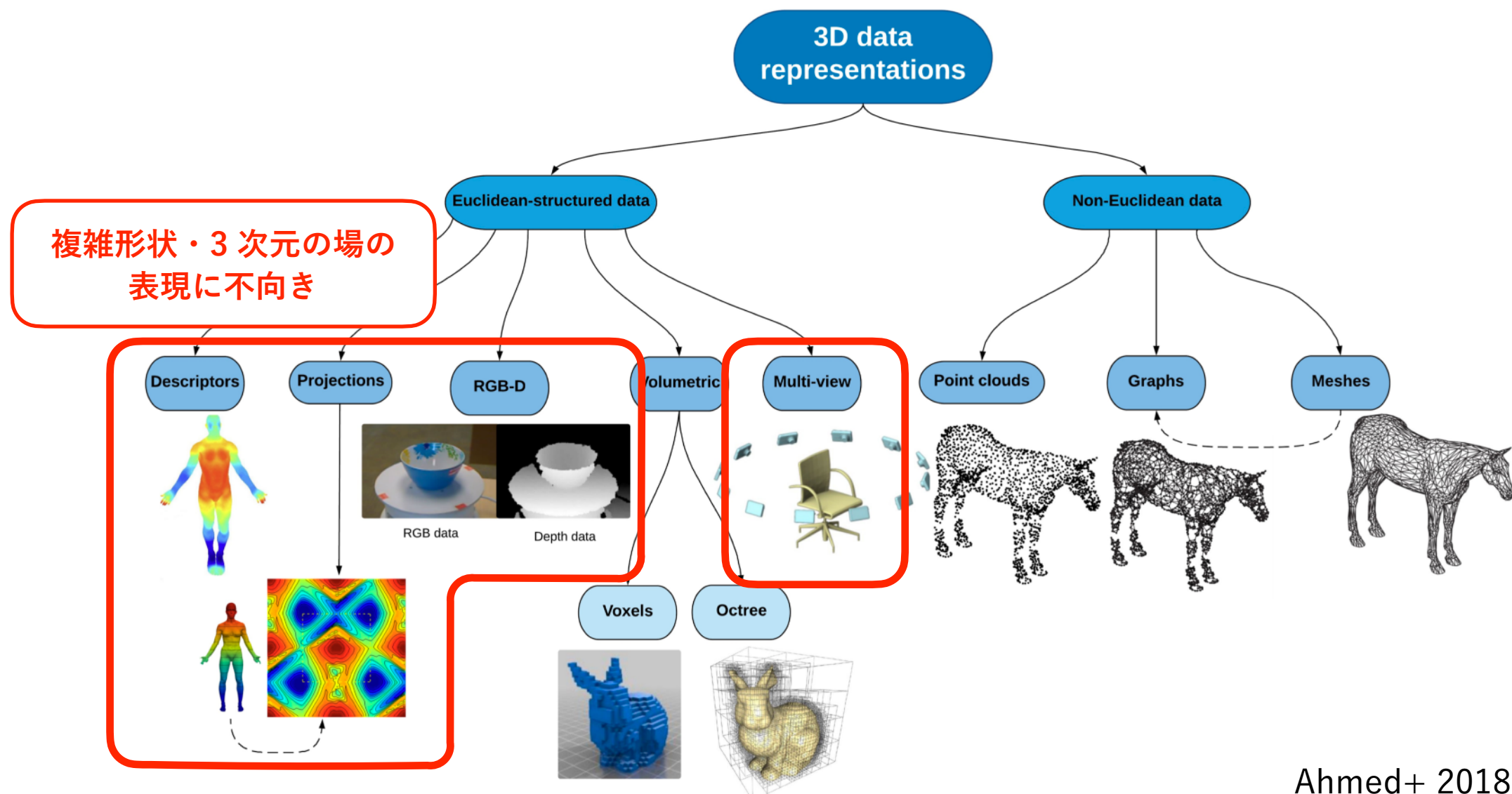
- Graph neural network
- 同変性
- IsoGCN: 同変性 + Graph Neural Network
- まとめ

3D データをどう扱うか？

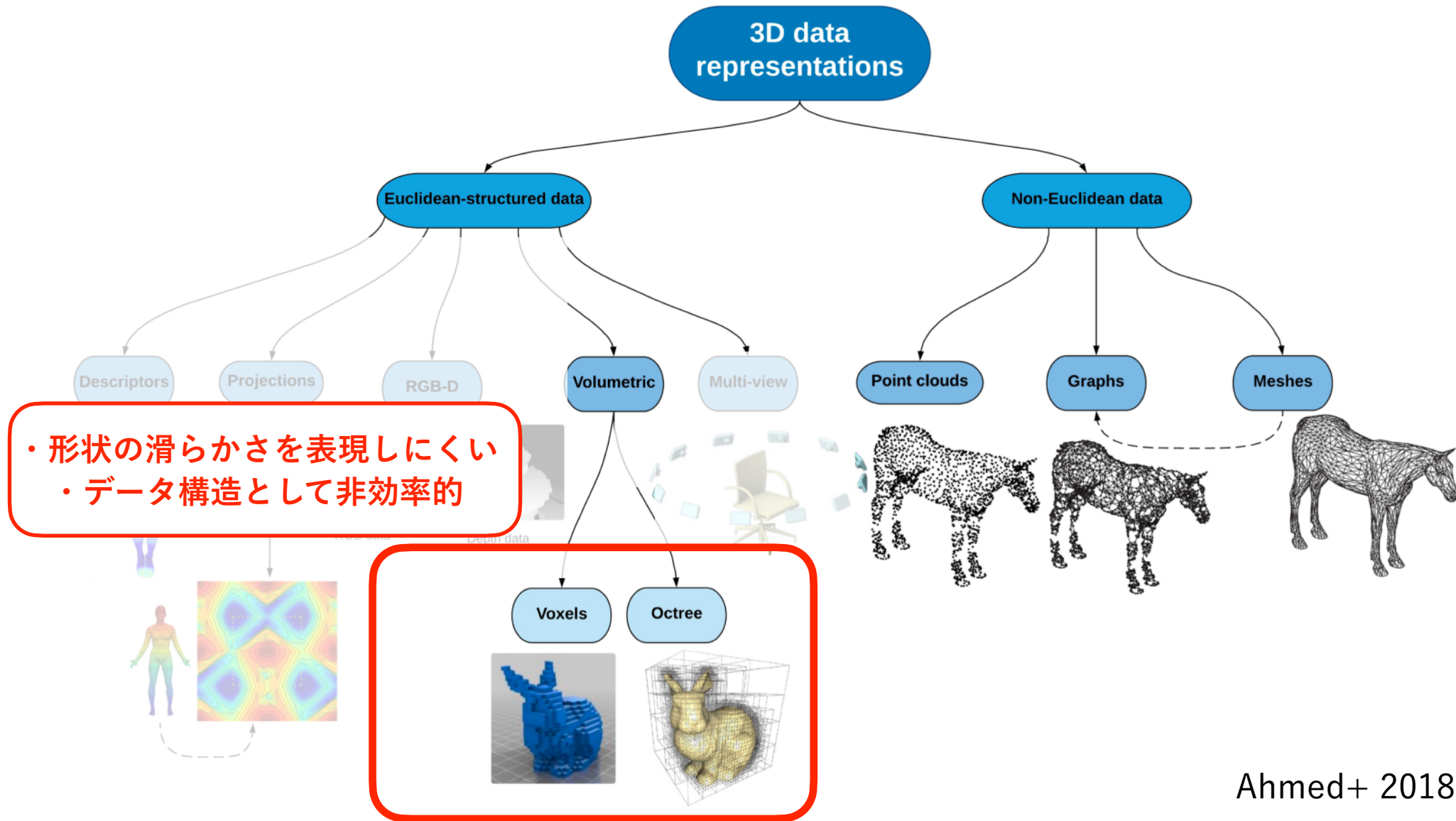


Ahmed+ 2018

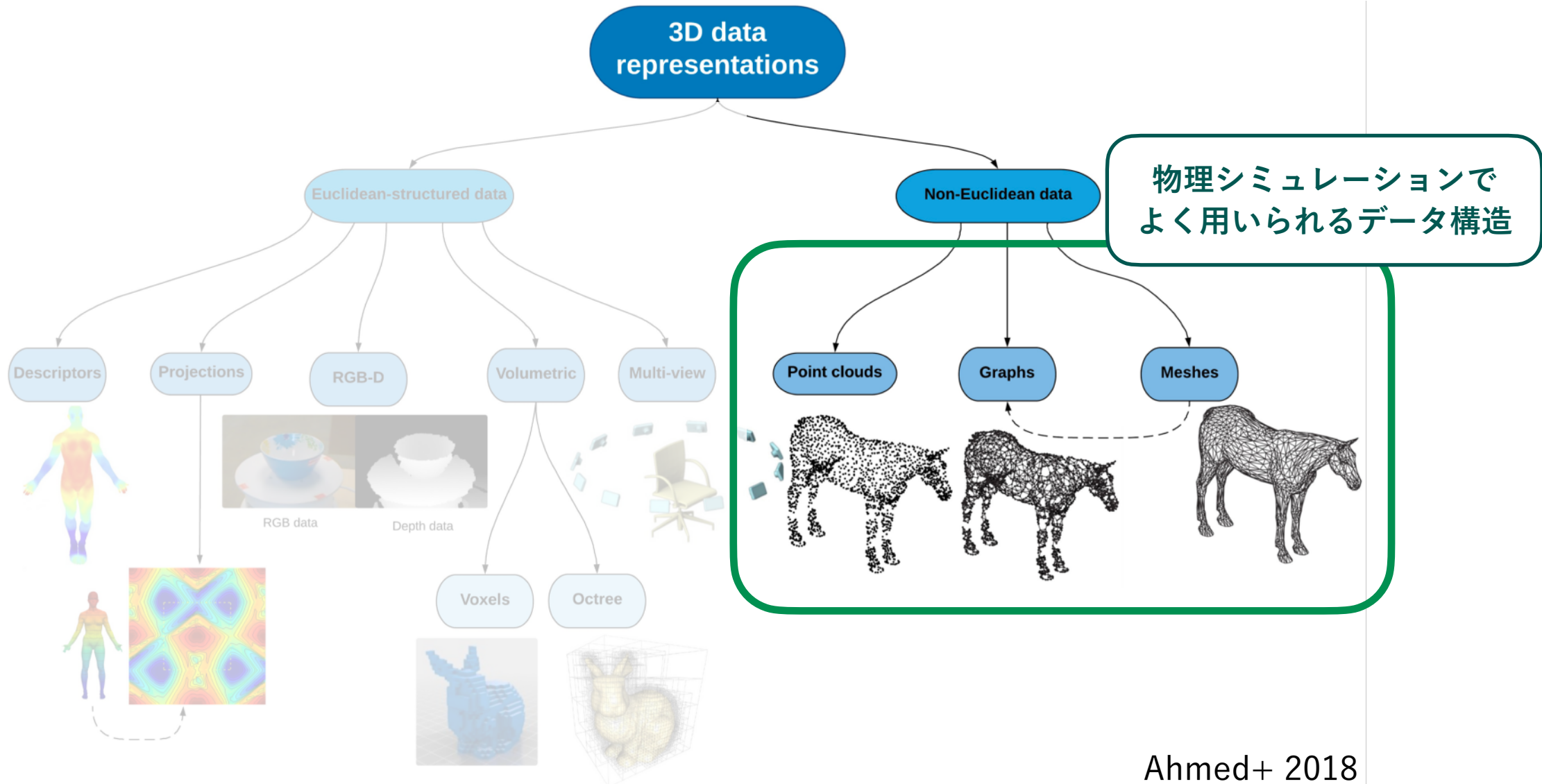
3D データをどう扱うか？



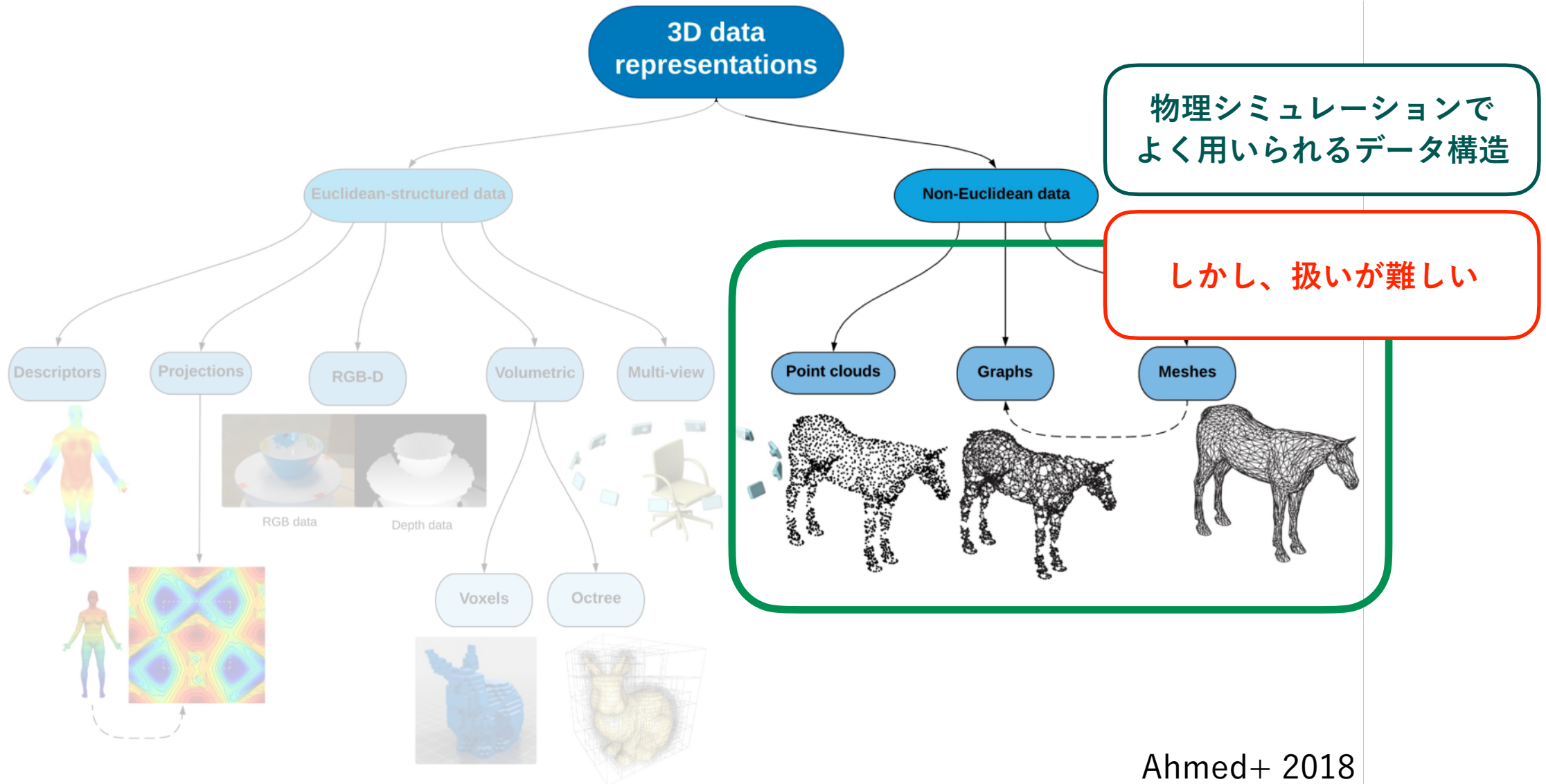
3D データをどう扱うか？



3D データをどう扱うか？



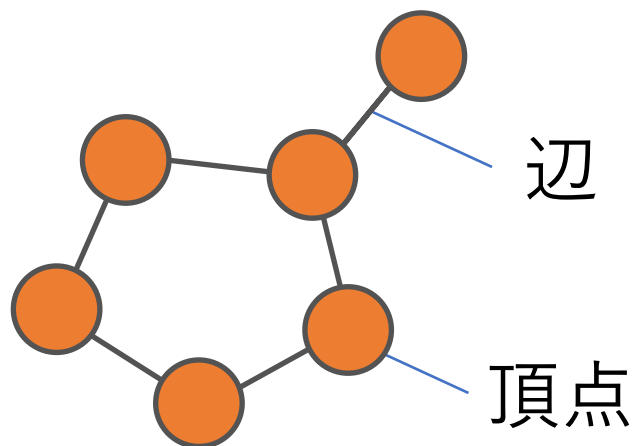
3D データをどう扱うか？



Ahmed+ 2018

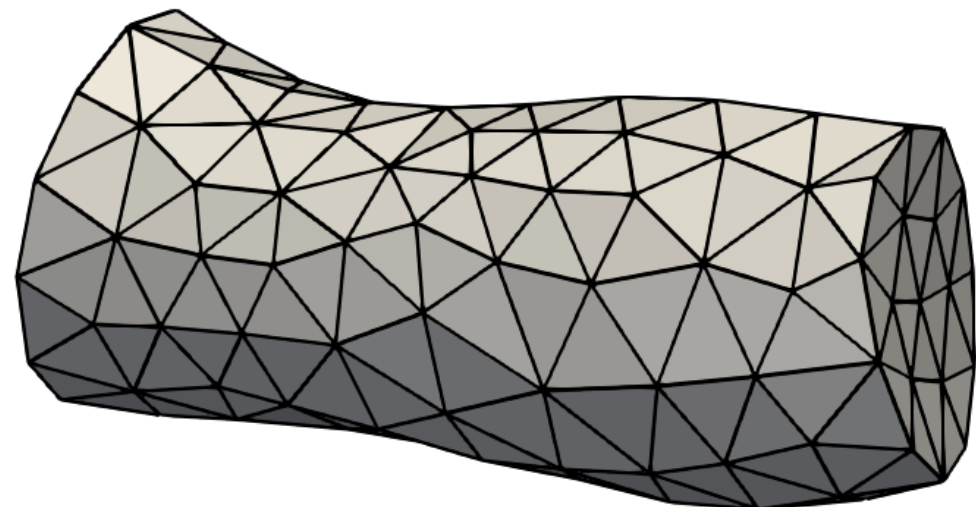
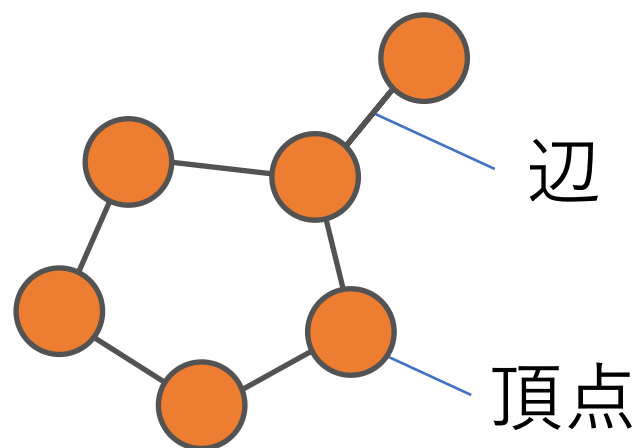
グラフの難しさ

- ・グラフ：頂点（vertex）と辺（edge）からなるデータ構造



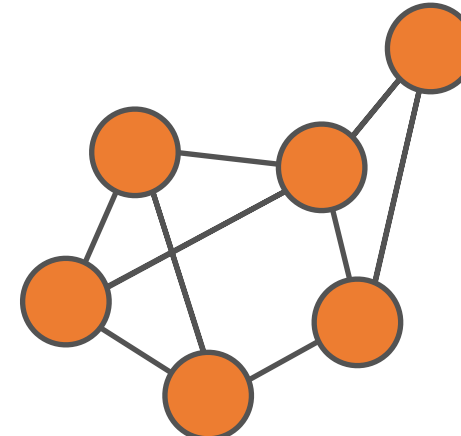
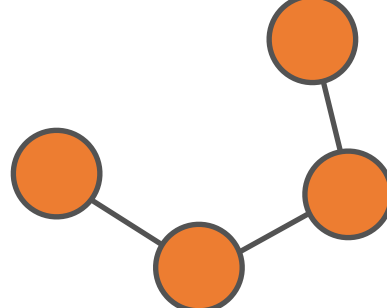
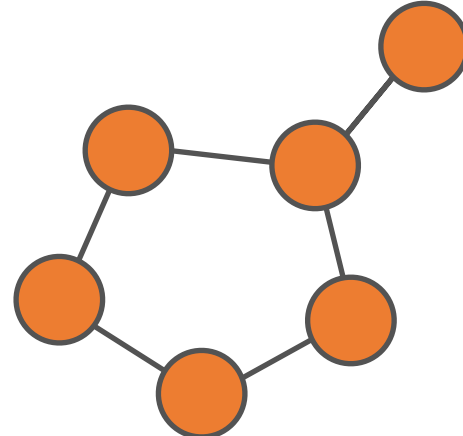
グラフの難しさ

- ・グラフ：頂点（vertex）と辺（edge）からなるデータ構造
 - メッシュもグラフとみなせる



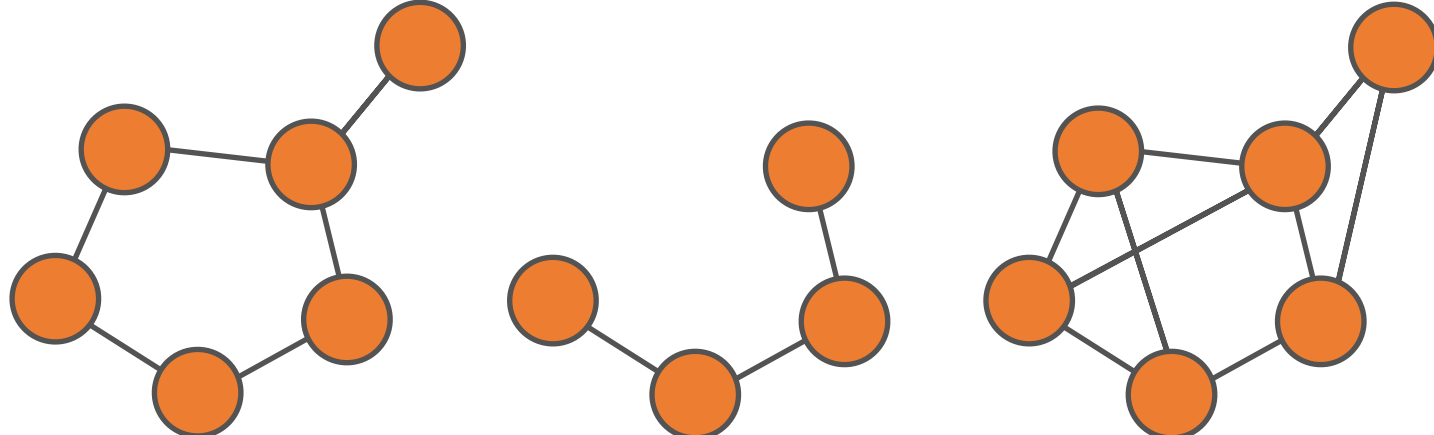
グラフの難しさ

- ・ グラフ：頂点（vertex）と辺（edge）からなるデータ構造
 - メッシュもグラフとみなせる
- ・ グラフの難しいところ：
 - 頂点の数が不定
 - 頂点から伸びているエッジの数が不定

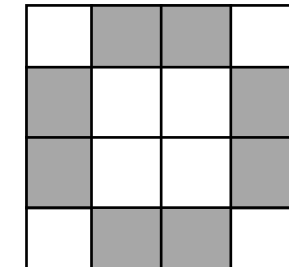


グラフの難しさ

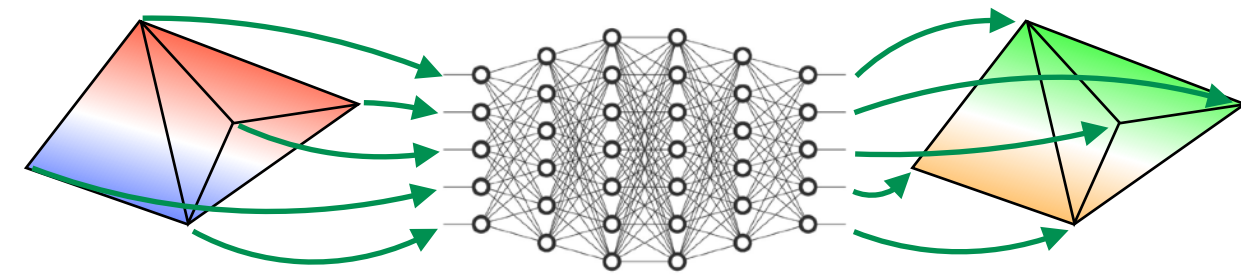
- ・ グラフ：頂点（vertex）と辺（edge）からなるデータ構造
 - メッシュもグラフとみなせる
- ・ グラフの難しいところ：
 - 頂点の数が不定
 - 頂点から伸びているエッジの数が不定



より扱いやすい例：
画像（格子グラフ）



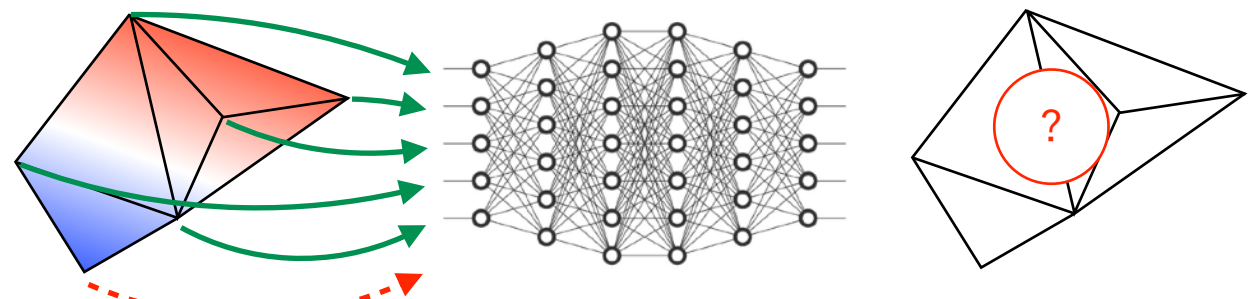
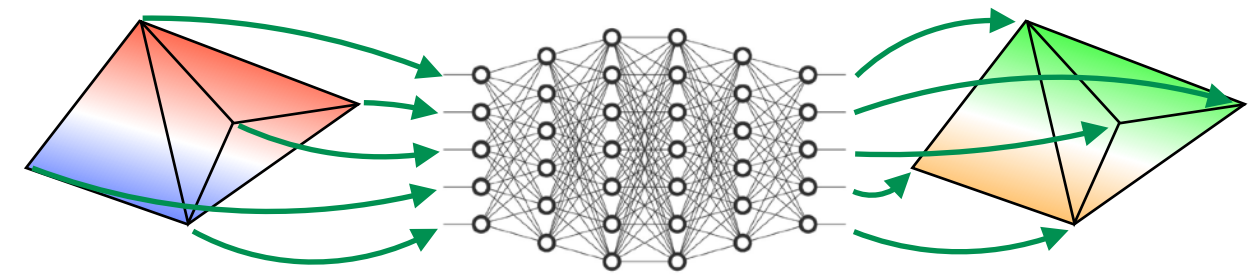
全結合ネットワークと Graph Neural Network



全結合ニューラルネットワーク

- 全結合のネットワークではグラフが変わると対応できない

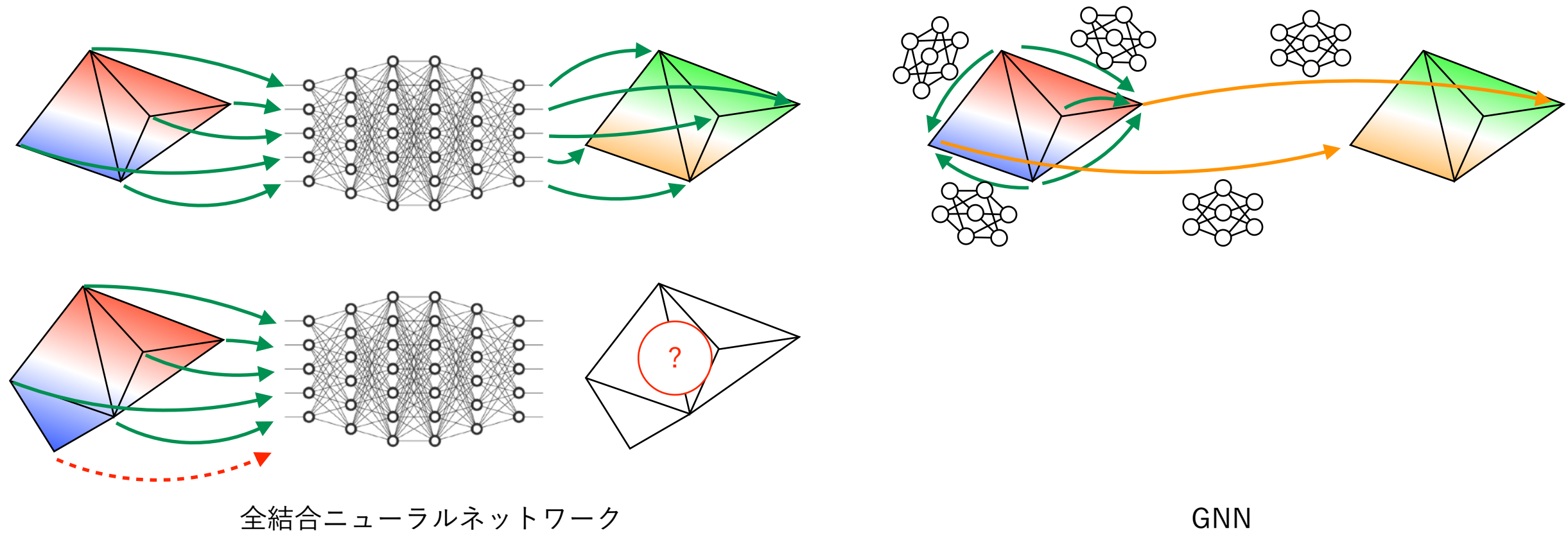
全結合ネットワークと Graph Neural Network



全結合ニューラルネットワーク

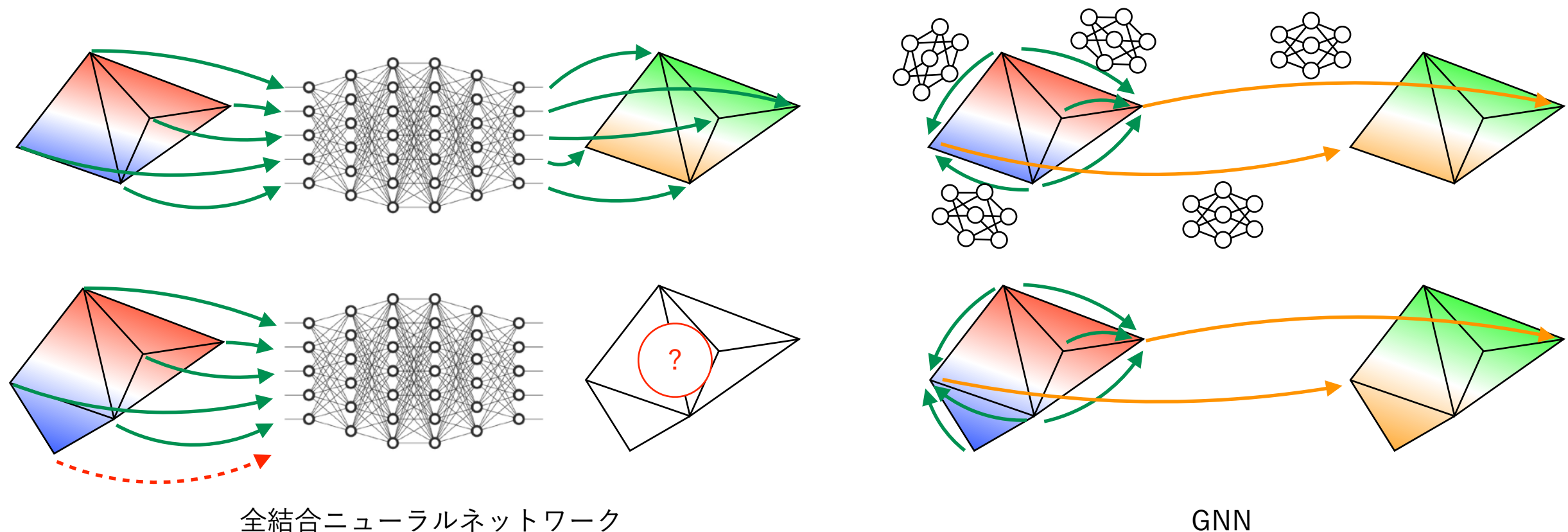
- ・全結合のネットワークではグラフが変わると対応できない

全結合ネットワークと Graph Neural Network



- 全結合のネットワークではグラフが変わると対応できない
- Graph Neural Network (GNN) はグラフの構造が変わっても同じモデルが使える

全結合ネットワークと Graph Neural Network

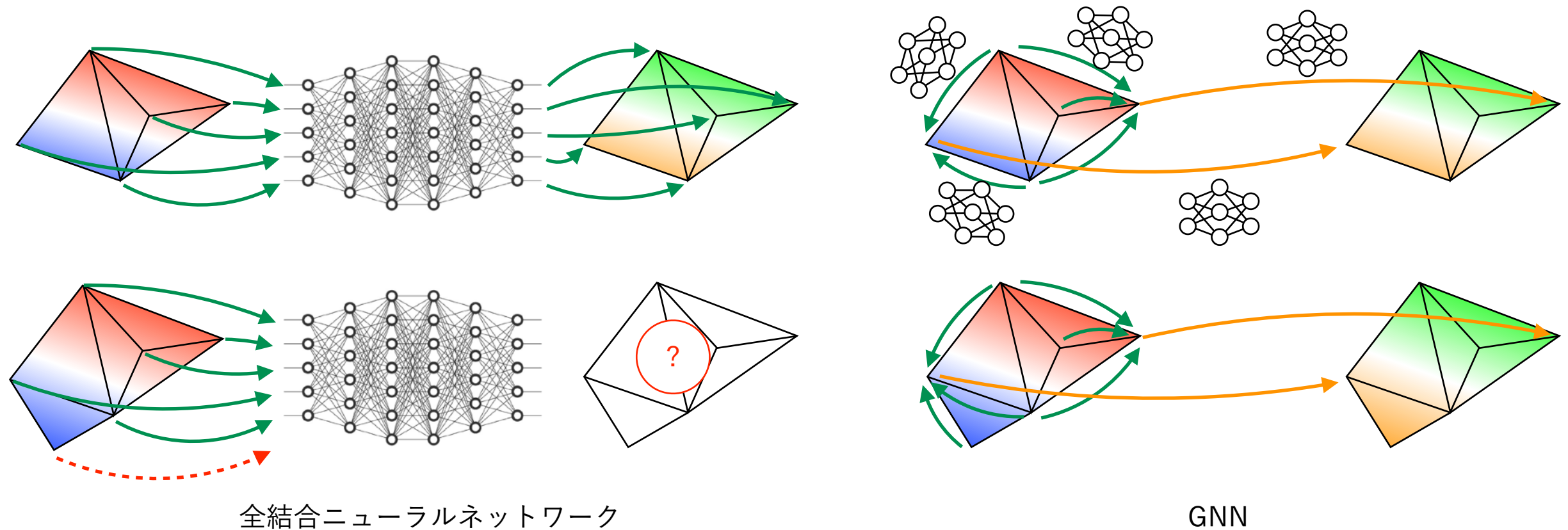


全結合ニューラルネットワーク

GNN

- ・全結合のネットワークではグラフが変わると対応できない
- ・Graph Neural Network (GNN) はグラフの構造が変わっても同じモデルが使える

全結合ネットワークと Graph Neural Network



- 全結合のネットワークではグラフが変わると対応できない
- Graph Neural Network (GNN) はグラフの構造が変わっても同じモデルが使える
- 一般的の GNN は計算が重く、大きいグラフ ($\sim 1M$ 節点) に使用できない

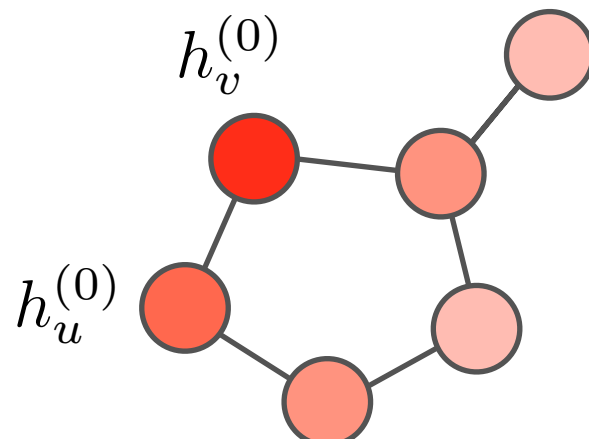
GCN: 軽量な GNN

- GCN: Graph Convolutional Network (Kipf+ 2017)

- ノード間の相互作用を線形化しモデルを軽量化

$$\hat{A} = \tilde{D}^{-\frac{1}{2}}(A + I)\tilde{D}^{-\frac{1}{2}}$$

$$h_v^{(k)} = \text{Activation}^{(k)} \left(\sum_u \hat{A}_{vu} h_u^{(k-1)} W^{(k)} \right)$$



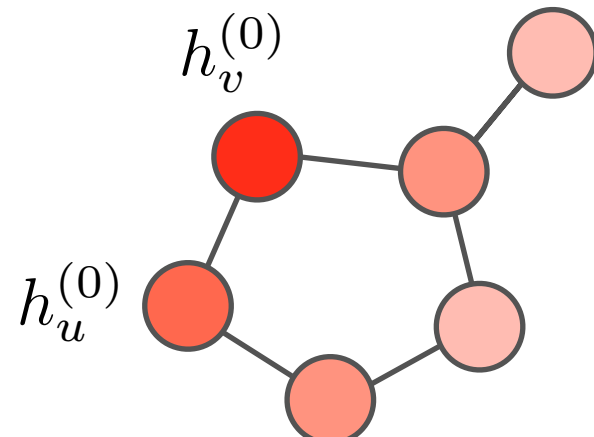
GCN: 軽量な GNN

- GCN: Graph Convolutional Network (Kipf+ 2017)

- ノード間の相互作用を線形化しモデルを軽量化

$$\hat{A} = \tilde{D}^{-\frac{1}{2}}(A + I)\tilde{D}^{-\frac{1}{2}}$$

$$h_v^{(k)} = \text{Activation}^{(k)} \left(\sum_u \hat{A}_{vu} h_u^{(k-1)} W^{(k)} \right)$$



$|\mathcal{V}|$: グラフのノード数

$A \in \mathbb{R}^{|\mathcal{V}| \times |\mathcal{V}|}$: 隣接行列

\tilde{D} : $A + I$ の度数行列

$h^{(k)} \in \mathbb{R}^{|\mathcal{V}| \times f^{(k)}}$: 特徴量行列

$W^{(k)} \in \mathbb{R}^{f^{(k-1)} \times f^{(k)}}$:

学習するパラメータ行列

$\text{Activation}^{(k)}$:

成分ごとに作用する非線形関数

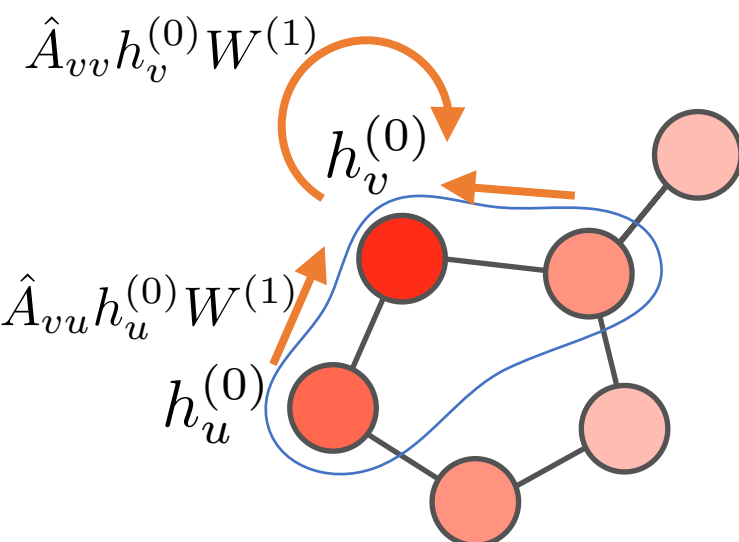
GCN: 軽量な GNN

- GCN: Graph Convolutional Network (Kipf+ 2017)

- ノード間の相互作用を線形化しモデルを軽量化

$$\hat{A} = \tilde{D}^{-\frac{1}{2}}(A + I)\tilde{D}^{-\frac{1}{2}}$$

$$h_v^{(k)} = \text{Activation}^{(k)} \left(\sum_u \hat{A}_{vu} h_u^{(k-1)} W^{(k)} \right)$$



$|\mathcal{V}|$: グラフのノード数

$A \in \mathbb{R}^{|\mathcal{V}| \times |\mathcal{V}|}$: 隣接行列

\tilde{D} : $A + I$ の度数行列

$h^{(k)} \in \mathbb{R}^{|\mathcal{V}| \times f^{(k)}}$: 特徴量行列

$W^{(k)} \in \mathbb{R}^{f^{(k-1)} \times f^{(k)}}$:

学習するパラメータ行列

$\text{Activation}^{(k)}$:

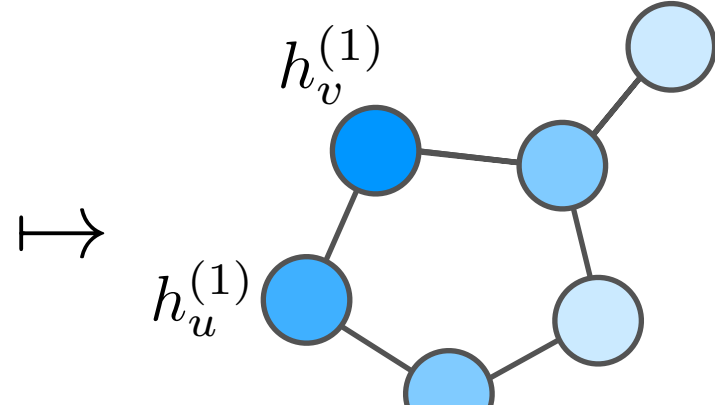
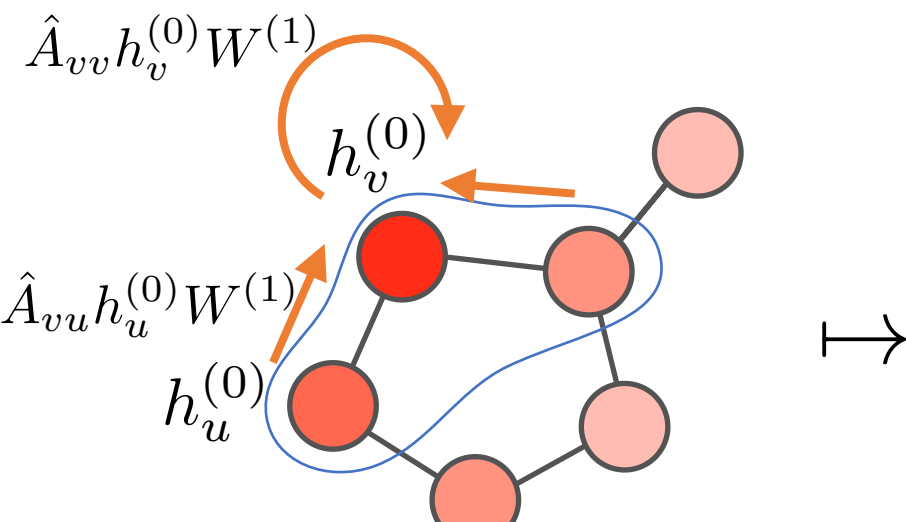
成分ごとに作用する非線形関数

GCN: 軽量な GNN

- GCN: Graph Convolutional Network (Kipf+ 2017)
 - ノード間の相互作用を線形化しモデルを軽量化

$$\hat{A} = \tilde{D}^{-\frac{1}{2}}(A + I)\tilde{D}^{-\frac{1}{2}}$$

$$h_v^{(k)} = \text{Activation}^{(k)} \left(\sum_u \hat{A}_{vu} h_u^{(k-1)} W^{(k)} \right)$$



$|\mathcal{V}|$: グラフのノード数

$A \in \mathbb{R}^{|\mathcal{V}| \times |\mathcal{V}|}$: 隣接行列

\tilde{D} : $A + I$ の度数行列

$h^{(k)} \in \mathbb{R}^{|\mathcal{V}| \times f^{(k)}}$: 特徴量行列

$W^{(k)} \in \mathbb{R}^{f^{(k-1)} \times f^{(k)}}$:

学習するパラメータ行列

$\text{Activation}^{(k)}$:

成分ごとに作用する非線形関数

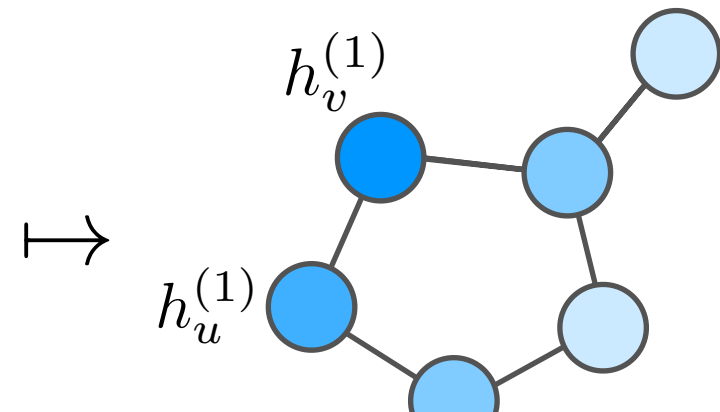
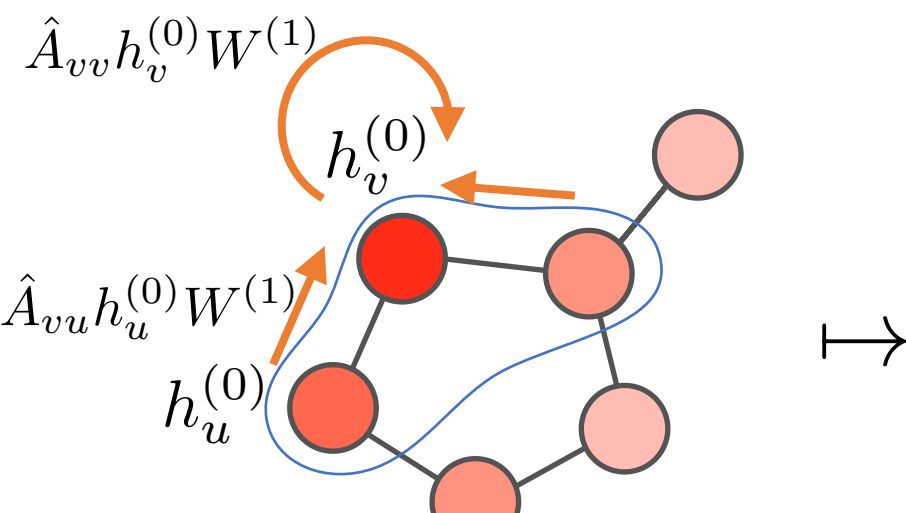
GCN: 軽量な GNN

- GCN: Graph Convolutional Network (Kipf+ 2017)

- ノード間の相互作用を線形化しモデルを軽量化

$$\hat{A} = \tilde{D}^{-\frac{1}{2}}(A + I)\tilde{D}^{-\frac{1}{2}}$$

$$h_v^{(k)} = \text{Activation}^{(k)} \left(\sum_u \hat{A}_{vu} h_u^{(k-1)} W^{(k)} \right)$$



$|\mathcal{V}|$: グラフのノード数

$A \in \mathbb{R}^{|\mathcal{V}| \times |\mathcal{V}|}$: 隣接行列

\tilde{D} : $A + I$ の度数行列

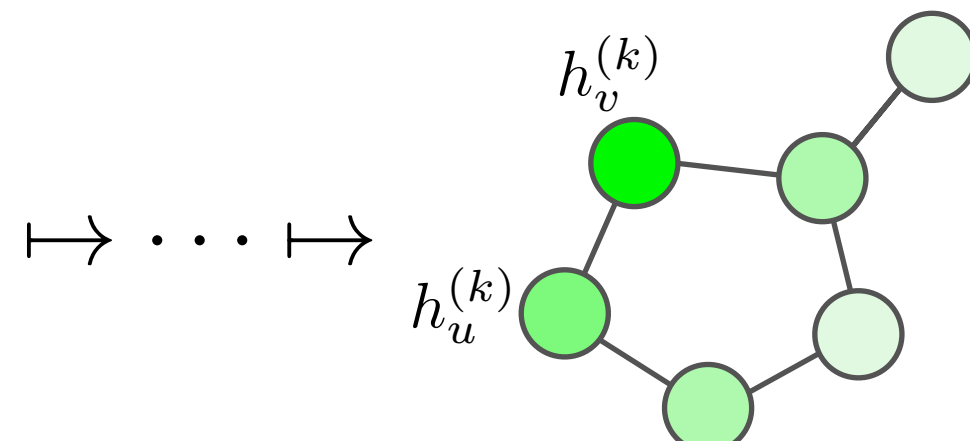
$h^{(k)} \in \mathbb{R}^{|\mathcal{V}| \times f^{(k)}}$: 特徴量行列

$W^{(k)} \in \mathbb{R}^{f^{(k-1)} \times f^{(k)}}$:

学習するパラメータ行列

$\text{Activation}^{(k)}$:

成分ごとに作用する非線形関数



目次

- Graph neural network
- 同変性
- IsoGCN: 同変性 + Graph Neural Network
- まとめ

目次

- Graph neural network
- 同変性
- IsoGCN: 同変性 + Graph Neural Network
- まとめ

不变性と同変性：現象の持つ対称性

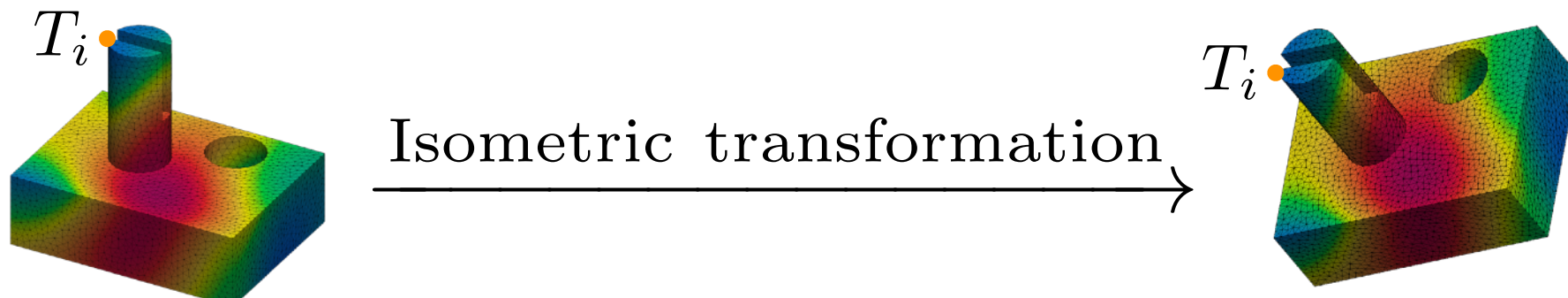
G を群、 X 、 Y を左 G -集合とする

- 関数 $f: X \rightarrow Y$ が群 G の作用に対して不変 (invariant) である：

$$\forall g \in G, \forall x \in X, f(g \cdot x) = f(x)$$

$$\begin{array}{ccc} X & \xrightarrow{g \cdot} & X \\ & f \searrow & \downarrow f \\ & & Y \end{array}$$

- 例：温度は合同変換（回転・鏡映・平行移動）に対して不変



不变性と同変性：現象の持つ対称性

G を群、 X 、 Y を左 G -集合とする

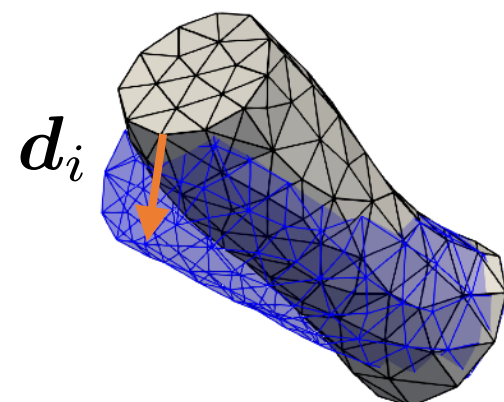
- 関数 $f: X \rightarrow Y$ が群 G の作用に対して **同変** (equivariant) である：

$$\forall g \in G, \forall x \in X, f(g \cdot x) = g \cdot f(x)$$

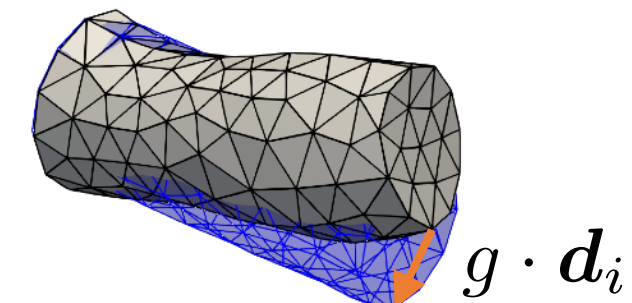
- 例：変位は直交変換（回転・鏡映）に対して同変

- 変位は平行移動に対して不变

- 不変性は同変性の一種なので、変位は合同変換に対して同変



Orthogonal transformation

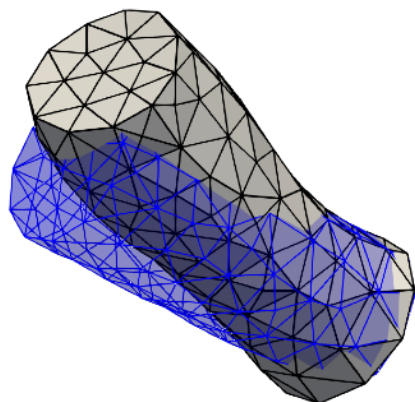


不变性と同変性：現象の持つ対称性

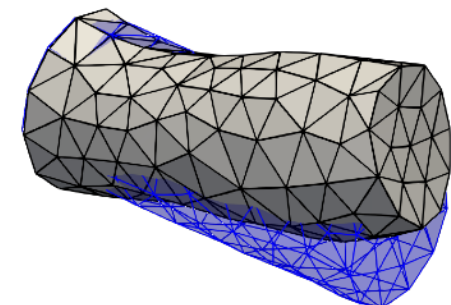
合同変換の群（ユークリッド群）を $E(n)$ とする

- 物理量・物理法則は合同変換同変である
 - 例：フックの法則

$$\forall e \in E(n), \sigma = -C\varepsilon \Rightarrow e \cdot \sigma = -(e \cdot C)(e \cdot \varepsilon)$$



Orthogonal transformation



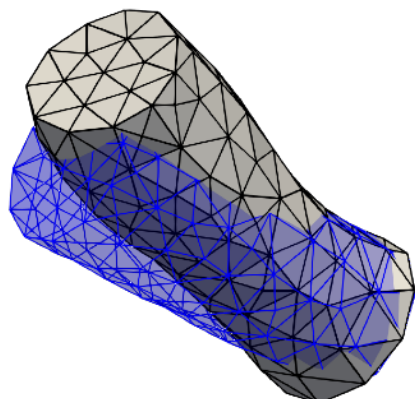
不变性と同変性：現象の持つ対称性

合同変換の群（ユークリッド群）を $E(n)$ とする

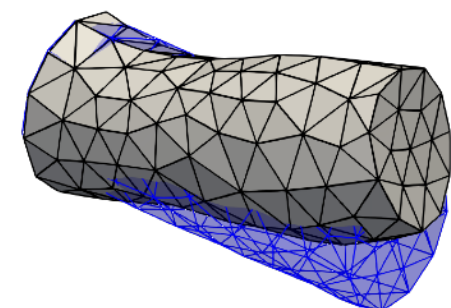
- 物理量・物理法則は合同変換同変である
 - 例：フックの法則

$$\forall e \in E(n), \sigma = -C\varepsilon \Rightarrow e \cdot \sigma = -(e \cdot C)(e \cdot \varepsilon)$$

$$\begin{aligned} U^e \in O(n), U_{ii'}^e U_{jj'}^e \sigma_{i'j'} &= -U_{ii'}^e U_{jj'}^e U_{kk'}^e U_{ll'}^e C_{i'j'k'l'} U_{kk''}^e U_{ll''}^e \varepsilon_{k''l''} \\ &= -U_{ii'}^e U_{jj'}^e \delta_{k'k''} \delta_{l'l''} C_{i'j'k'l'} \varepsilon_{k''l''} \\ &= -U_{ii'}^e U_{jj'}^e C_{i'j'k'l'} \varepsilon_{k'l'} \end{aligned}$$



Orthogonal transformation



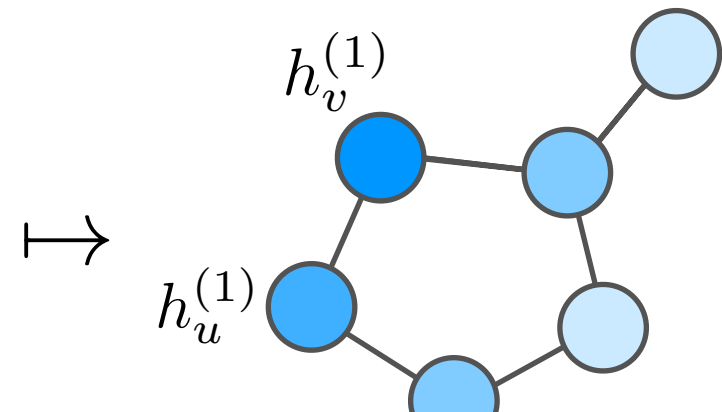
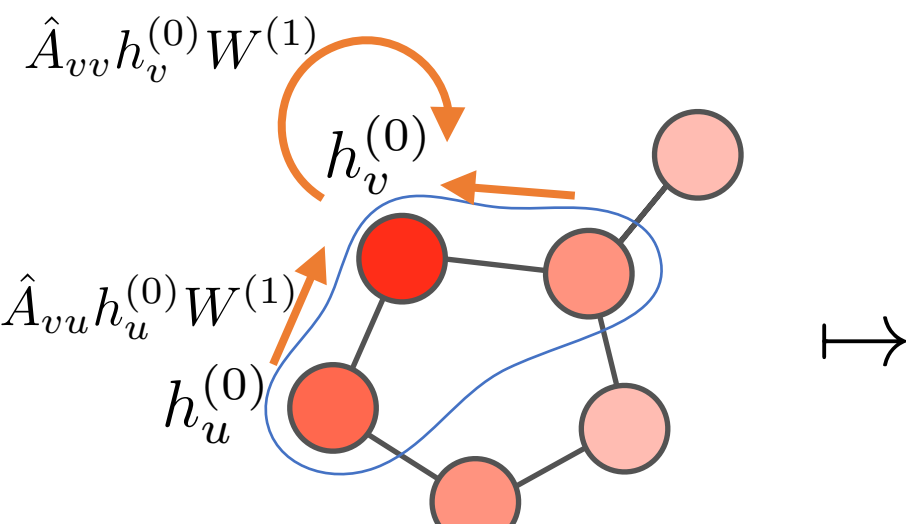
GCN と不变性・同変性

- GCN: Graph Convolutional Network (Kipf+ 2017)

- ノード間の相互作用を線形化しモデルを軽量化

$$\hat{A} = \tilde{D}^{-\frac{1}{2}}(A + I)\tilde{D}^{-\frac{1}{2}}$$

$$h_v^{(k)} = \text{Activation}^{(k)} \left(\sum_u \hat{A}_{vu} h_u^{(k-1)} W^{(k)} \right)$$



$|\mathcal{V}|$: グラフのノード数

$A \in \mathbb{R}^{|\mathcal{V}| \times |\mathcal{V}|}$: 隣接行列

\tilde{D} : $A + I$ の度数行列

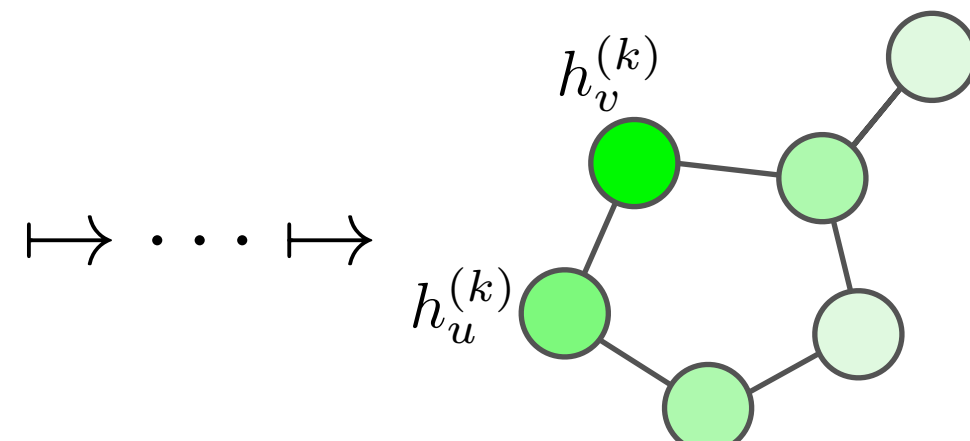
$h^{(k)} \in \mathbb{R}^{|\mathcal{V}| \times f^{(k)}}$: 特徴量行列

$W^{(k)} \in \mathbb{R}^{f^{(k-1)} \times f^{(k)}}$:

学習するパラメータ行列

$\text{Activation}^{(k)}$:

成分ごとに作用する非線形関数



GCN と不变性・同変性

- GCN: Graph Convolutional Network (Kipf+ 2017)

- ノード間の相互作用を線形化しモデルを軽量化

$$\hat{A} = \tilde{D}^{-\frac{1}{2}}(A + I)\tilde{D}^{-\frac{1}{2}}$$

$$h_v^{(k)} = \text{Activation}^{(k)} \left(\sum_u \hat{A}_{vu} h_u^{(k-1)} W^{(k)} \right)$$

- GCN は、入力が合同変換不変のときのみ不变

- 不变性を保ったままノード位置を入力できない

$|\mathcal{V}|$: グラフのノード数

$A \in \mathbb{R}^{|\mathcal{V}| \times |\mathcal{V}|}$: 隣接行列

\tilde{D} : $A + I$ の度数行列

$h^{(k)} \in \mathbb{R}^{|\mathcal{V}| \times f^{(k)}}$: 特徴量行列

$W^{(k)} \in \mathbb{R}^{f^{(k-1)} \times f^{(k)}}$:

学習するパラメータ行列

$\text{Activation}^{(k)}$:

成分ごとに作用する非線形関数

GCN と不变性・同変性

- GCN: Graph Convolutional Network (Kipf+ 2017)

- ノード間の相互作用を線形化しモデルを軽量化

$$\hat{A} = \tilde{D}^{-\frac{1}{2}}(A + I)\tilde{D}^{-\frac{1}{2}}$$

$$h_v^{(k)} = \text{Activation}^{(k)} \left(\sum_u \hat{A}_{vu} h_u^{(k-1)} W^{(k)} \right)$$

- GCN は、入力が合同変換不変のときのみ不变

- 不変性を保ったままノード位置を入力できない

$|\mathcal{V}|$: グラフのノード数

$A \in \mathbb{R}^{|\mathcal{V}| \times |\mathcal{V}|}$: 隣接行列

\tilde{D} : $A + I$ の度数行列

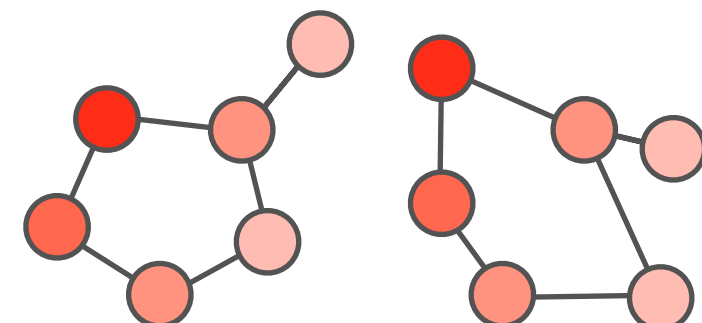
$h^{(k)} \in \mathbb{R}^{|\mathcal{V}| \times f^{(k)}}$: 特徴量行列

$W^{(k)} \in \mathbb{R}^{f^{(k-1)} \times f^{(k)}}$:

学習するパラメータ行列

$\text{Activation}^{(k)}$:

成分ごとに作用する非線形関数



GCN と不变性・同変性

- GCN: Graph Convolutional Network (Kipf+ 2017)

- ノード間の相互作用を線形化しモデルを軽量化

$$\hat{A} = \tilde{D}^{-\frac{1}{2}}(A + I)\tilde{D}^{-\frac{1}{2}}$$

$$h_v^{(k)} = \text{Activation}^{(k)} \left(\sum_u \hat{A}_{vu} h_u^{(k-1)} W^{(k)} \right)$$

- GCN は、入力が合同変換不変のときのみ不变

- 不変性を保ったままノード位置を入力できない

- 一般に GCN は合同変換同変とならない

$$\exists e \in E(d), e \cdot h^{(k)} \neq \text{Activation}^{(k)}(\hat{A}e \cdot h^{(k-1)} W^{(k)})$$

$|\mathcal{V}|$: グラフのノード数

$A \in \mathbb{R}^{|\mathcal{V}| \times |\mathcal{V}|}$: 隣接行列

\tilde{D} : $A + I$ の度数行列

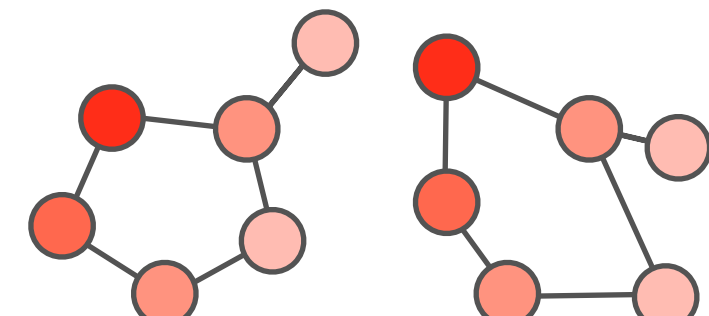
$h^{(k)} \in \mathbb{R}^{|\mathcal{V}| \times f^{(k)}}$: 特徴量行列

$W^{(k)} \in \mathbb{R}^{f^{(k-1)} \times f^{(k)}}$:

学習するパラメータ行列

$\text{Activation}^{(k)}$:

成分ごとに作用する非線形関数



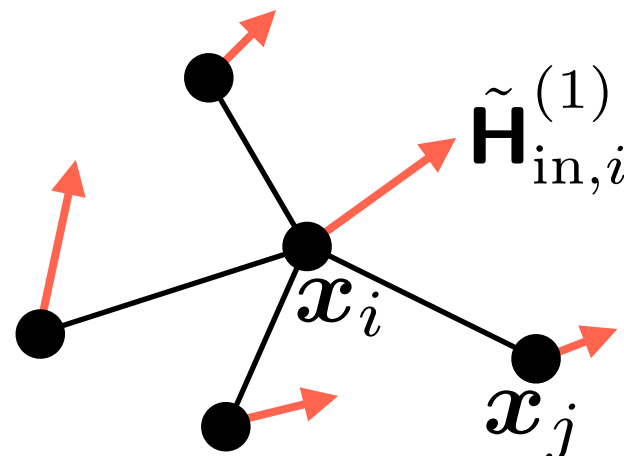
Tensor field network: 合同変換同変な機械学習モデル

- TFN: Tensor field network (Thomas+ 2018)

- 球面調和関数を用いた
合同変換不变・同変な機械学習モデル

$$\tilde{\mathbf{H}}_{\text{out},i}^{(l)} = w^{ll} \tilde{\mathbf{H}}_{\text{in},i}^{(l)} + \sum_{k \geq 0} \sum_{j \neq i} \mathbf{W}^{lk}(\mathbf{x}_j - \mathbf{x}_i) \tilde{\mathbf{H}}_{\text{in},j}^{(k)}$$

$$\mathbf{W}^{lk}(\mathbf{x}) = \sum_{J=|k-l|}^{k+l} \phi_J^{lk}(\|\mathbf{x}\|) \sum_{m=-J}^J Y_{Jm}(\mathbf{x}/\|\mathbf{x}\|) \mathbf{Q}_{Jm}^{lk}$$

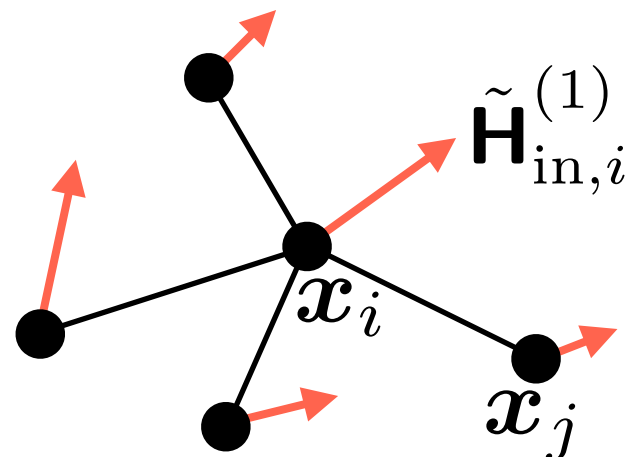


Tensor field network: 合同変換同変な機械学習モデル

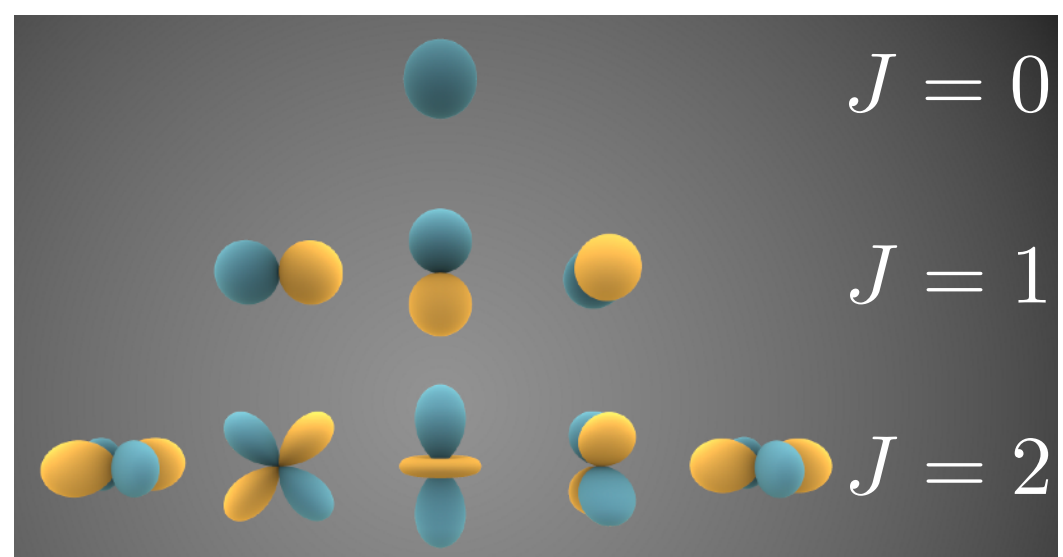
- TFN: Tensor field network (Thomas+ 2018)
 - 球面調和関数を用いた
合同変換不变・同変な機械学習モデル

$$\tilde{\mathbf{H}}_{\text{out},i}^{(l)} = w^{ll} \tilde{\mathbf{H}}_{\text{in},i}^{(l)} + \sum_{k \geq 0} \sum_{j \neq i} \mathbf{W}^{lk}(\mathbf{x}_j - \mathbf{x}_i) \tilde{\mathbf{H}}_{\text{in},j}^{(k)}$$

$$\mathbf{W}^{lk}(\mathbf{x}) = \sum_{J=|k-l|}^{k+l} \phi_J^{lk}(\|\mathbf{x}\|) \sum_{m=-J}^J Y_{Jm}(\mathbf{x}/\|\mathbf{x}\|) \mathbf{Q}_{Jm}^{lk}$$



$\tilde{\mathbf{H}}_{\text{in},i}^{(l)} \in \mathbb{R}^{2l+1}$: type- l 入力
 (l階テンソルに対応)
 \mathbf{x}_i : i 番目ノード位置
 w^{ll} : 学習するパラメータ
 $\phi_J^{lk} : \mathbb{R}_{\geq 0} \rightarrow \mathbb{R}$: 学習する関数
 $Y_J : \mathbb{R}^3 \rightarrow \mathbb{R}^{2J+1}$: 球面調和関数



Tensor field network: 合同変換同変な機械学習モデル

- TFN: Tensor field network (Thomas+ 2018)
- 球面調和関数を用いた
合同変換不变・同変な機械学習モデル

$$\tilde{\mathbf{H}}_{\text{out},i}^{(l)} = w^{ll} \tilde{\mathbf{H}}_{\text{in},i}^{(l)} + \sum_{k \geq 0} \sum_{j \neq i} \mathbf{W}^{lk} (\mathbf{x}_j - \mathbf{x}_i) \tilde{\mathbf{H}}_{\text{in},j}^{(k)}$$

$$\mathbf{W}^{lk}(\mathbf{x}) = \sum_{J=|k-l|}^{k+l} \phi_J^{lk}(\|\mathbf{x}\|) \sum_{m=-J}^J Y_{Jm}(\mathbf{x}/\|\mathbf{x}\|) \mathbf{Q}_{Jm}^{lk}$$

$\tilde{\mathbf{H}}_{\text{in},i}^{(l)} \in \mathbb{R}^{2l+1}$: type- l 入力
(l 階テンソルに対応)

\mathbf{x}_i : i 番目ノード位置

w^{ll} : 学習するパラメータ

$\phi_J^{lk} : \mathbb{R}_{\geq 0} \rightarrow \mathbb{R}$: 学習する関数

$Y_J : \mathbb{R}^3 \rightarrow \mathbb{R}^{2J+1}$: 球面調和関数

$\mathbf{Q}_{Jm}^{lk} \in \mathbb{R}^{(2l+1) \times (2k+1)}$:
Clebsch-Gordan 係数

Tensor field network: 合同変換同変な機械学習モデル

- TFN: Tensor field network (Thomas+ 2018)
 - 球面調和関数を用いた
合同変換不变・同変な機械学習モデル

$$\tilde{\mathbf{H}}_{\text{out},i}^{(l)} = w^{ll} \tilde{\mathbf{H}}_{\text{in},i}^{(l)} + \sum_{k \geq 0} \sum_{j \neq i} \mathbf{W}^{lk}(\mathbf{x}_j - \mathbf{x}_i) \tilde{\mathbf{H}}_{\text{in},j}^{(k)}$$

$$\mathbf{W}^{lk}(\mathbf{x}) = \sum_{J=|k-l|}^{k+l} \phi_J^{lk}(\|\mathbf{x}\|) \sum_{m=-J}^J Y_{Jm}(\mathbf{x}/\|\mathbf{x}\|) \mathbf{Q}_{Jm}^{lk}$$

$\tilde{\mathbf{H}}_{\text{in},i}^{(l)} \in \mathbb{R}^{2l+1}$: type- l 入力
(l 階テンソルに対応)

\mathbf{x}_i : i 番目ノード位置

w^{ll} : 学習するパラメータ

$\phi_J^{lk} : \mathbb{R}_{\geq 0} \rightarrow \mathbb{R}$: 学習する関数

$Y_J : \mathbb{R}^3 \rightarrow \mathbb{R}^{2J+1}$: 球面調和関数

$\mathbf{Q}_{Jm}^{lk} \in \mathbb{R}^{(2l+1) \times (2k+1)}$:
Clebsch-Gordan 係数

type- J と type- k の入力から type- l の出力を返すときの係数

(J, k, l)	$(0, 0, 0)$	$\begin{pmatrix} 0, 1, 1 \\ 1, 0, 1 \end{pmatrix}$	$(1, 1, 0)$	$(1, 1, 1)$
対応物	掛け算	ベクトルの スカラー倍	ドット積	クロス積

Tensor field network: 合同変換同変な機械学習モデル

- TFN: Tensor field network (Thomas+ 2018)
 - 球面調和関数を用いた
合同変換不变・同変な機械学習モデル
- $$\tilde{\mathbf{H}}_{\text{out},i}^{(l)} = w^{ll} \tilde{\mathbf{H}}_{\text{in},i}^{(l)} + \sum_{k \geq 0} \sum_{j \neq i} \mathbf{W}^{lk}(\mathbf{x}_j - \mathbf{x}_i) \tilde{\mathbf{H}}_{\text{in},j}^{(k)}$$
- $$\mathbf{W}^{lk}(\mathbf{x}) = \sum_{J=|k-l|}^{k+l} \phi_J^{lk}(\|\mathbf{x}\|) \sum_{m=-J}^J Y_{Jm}(\mathbf{x}/\|\mathbf{x}\|) \mathbf{Q}_{Jm}^{lk}$$
- $\tilde{\mathbf{H}}_{\text{in},i}^{(l)} \in \mathbb{R}^{2l+1}$: type- l 入力
(l 階テンソルに対応)
- \mathbf{x}_i : i 番目ノード位置
- w^{ll} : 学習するパラメータ
- $\phi_J^{lk} : \mathbb{R}_{\geq 0} \rightarrow \mathbb{R}$: 学習する関数
- $Y_J : \mathbb{R}^3 \rightarrow \mathbb{R}^{2J+1}$: 球面調和関数
- $\mathbf{Q}_{Jm}^{lk} \in \mathbb{R}^{(2l+1) \times (2k+1)}$: Clebsch-Gordan 係数

- Universality (同変な連続関数を任意の精度で一様に近似できる性質)が示されている (Dym+ 2020)
- 計算に時間がかかるためシミュレーションの代替には不向き

目次

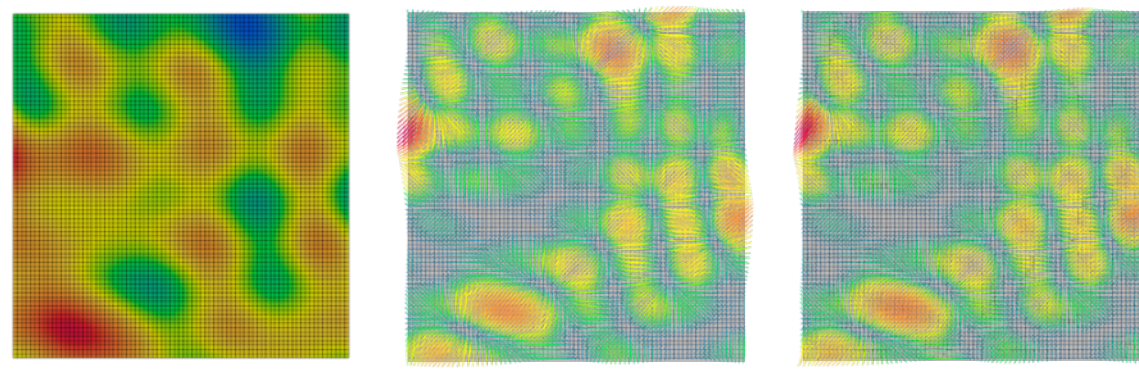
- Graph neural network
- 同変性
- IsoGCN: 同変性 + Graph Neural Network
- まとめ

目次

- Graph neural network
- 同変性
- IsoGCN: 同変性 + Graph Neural Network
- まとめ

概要：対称性があり計算効率のよい GNN を開発

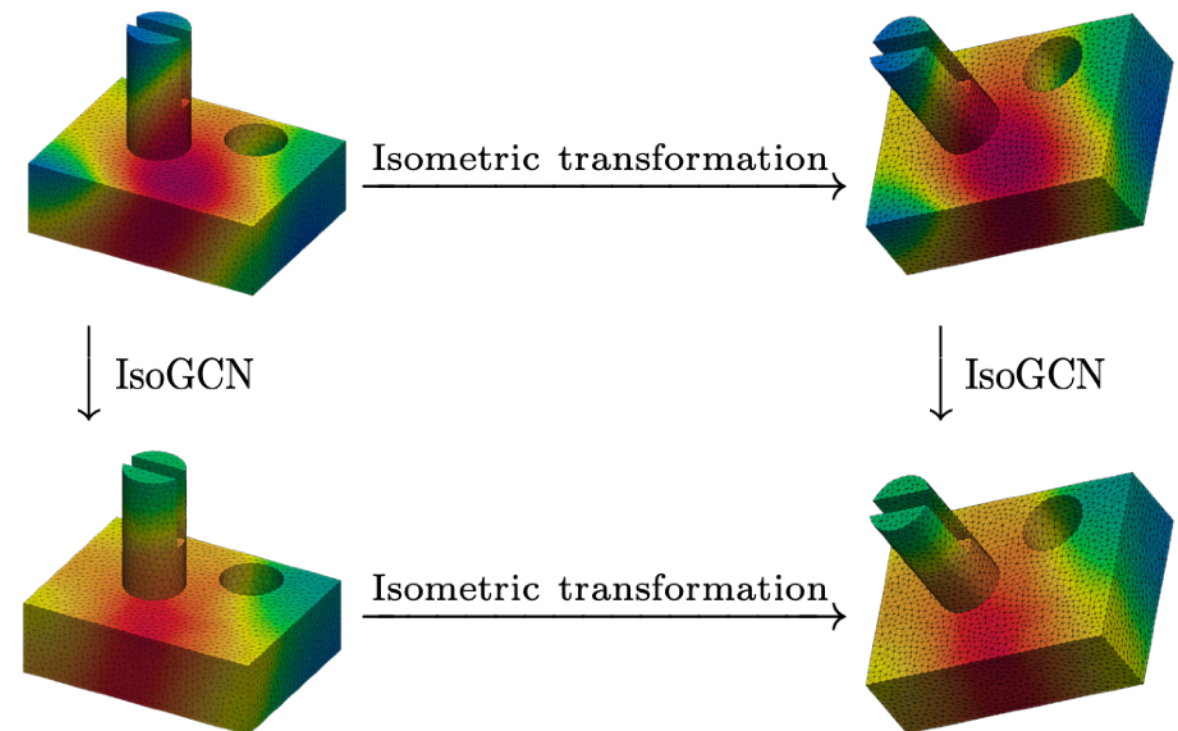
- IsoGCN: 合同変換不变・同変で計算効率のよい GNN (Horie+ 2020)
- IsoGCN は同等の精度の有限要素解析より高速
- IsoGCN は微分演算子の近似とみなせる



スカラー場
(入力)

勾配
(正解)

勾配
(推論)



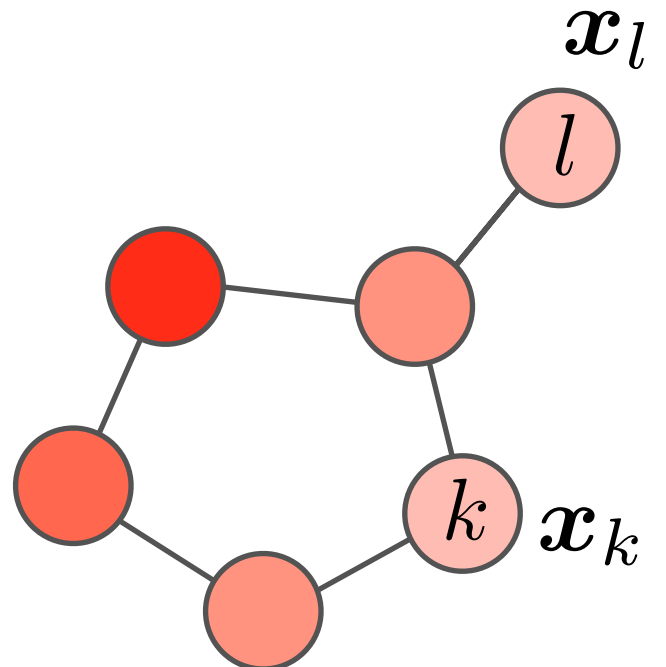
IsoGCN：合同変換不变・同変な GCN

頂点数 $|\mathcal{V}|$ のグラフが d 次元ユークリッド空間に埋め込まれているとする

- IsoAM (Isometric Adjacency Matrix) G :

$$G \in \mathbb{R}^{|\mathcal{V}| \times |\mathcal{V}| \times d}$$

$$G_{ijm} = \sum_{k,l; k \neq l} [T_{ijkl}(\mathbf{x}_k - \mathbf{x}_l)]_m$$



IsoGCN：合同変換不变・同変な GCN

頂点数 $|\mathcal{V}|$ のグラフが d 次元ユークリッド空間に埋め込まれているとする

- IsoAM (Isometric Adjacency Matrix) G :

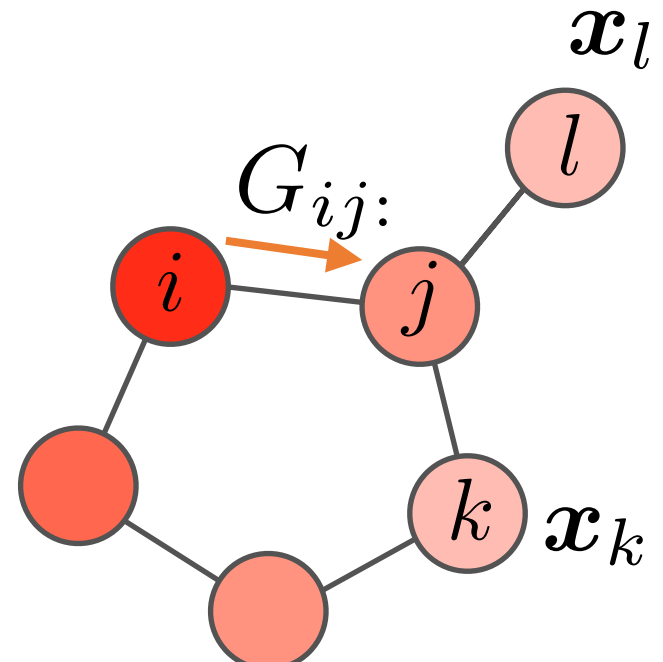
$$G \in \mathbb{R}^{|\mathcal{V}| \times |\mathcal{V}| \times d}$$

$$G_{ijm} = \sum_{k,l; k \neq l} [T_{ijkl}(\mathbf{x}_k - \mathbf{x}_l)]_m$$

- T_{ijkl} : グラフごとに定まる 2 階テンソル

- $T_{ijkl} = \delta_{il}\delta_{jk} \mathbf{I}$ とおけば

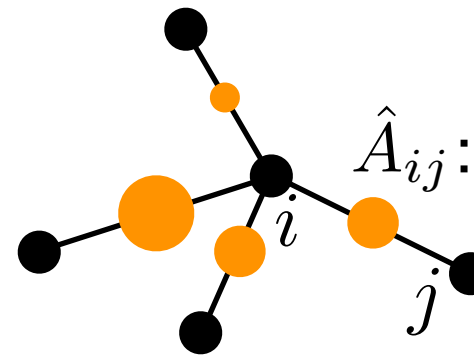
$$G_{ij:} = \mathbf{x}_j - \mathbf{x}_i$$



Key Idea: GCN with Vector-Valued Adjacency Matrix

- GCN's message passing

$$H_{\text{out}} = \hat{A} H_{\text{in}} W$$

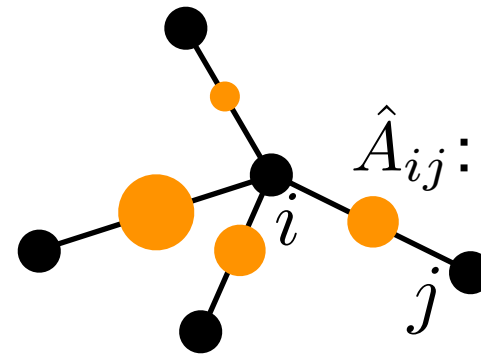


\hat{A}_{ij} : Renormalized adjacency matrix

Key Idea: GCN with Vector-Valued Adjacency Matrix

- GCN's message passing

$$H_{\text{out}} = \hat{A} H_{\text{in}} W$$

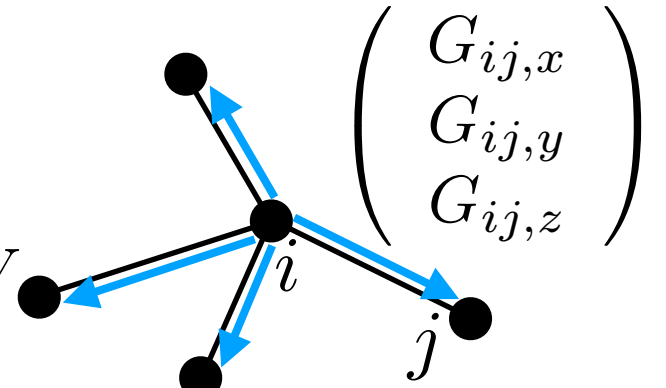


\hat{A}_{ij} : Renormalized adjacency matrix

- IsoGCN's message passing:

- Scalar to vector

$$\begin{pmatrix} H_{\text{out},x} \\ H_{\text{out},y} \\ H_{\text{out},z} \end{pmatrix} = \begin{pmatrix} G_{::,x} \\ G_{::,y} \\ G_{::,z} \end{pmatrix} H_{\text{in}} W$$

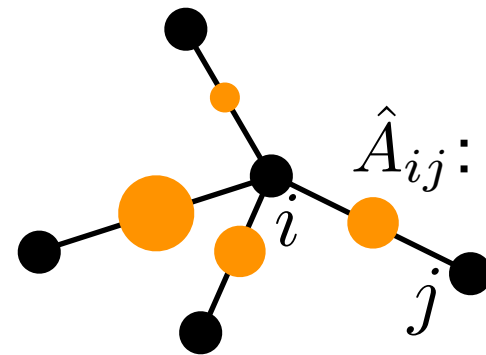


IsoAM :
relative vertex positions

Key Idea: GCN with Vector-Valued Adjacency Matrix

- GCN's message passing

$$H_{\text{out}} = \hat{A} H_{\text{in}} W$$

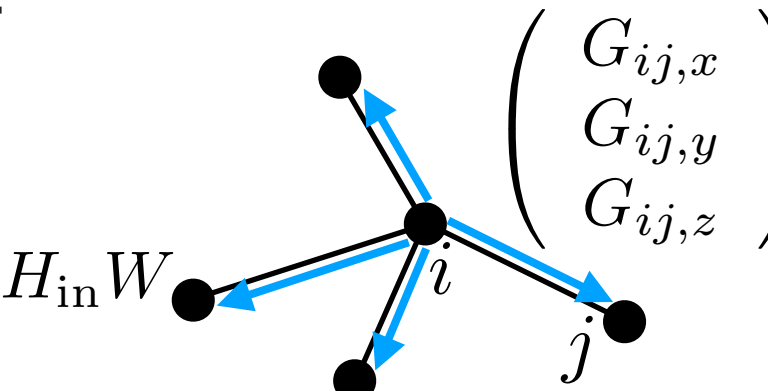


\hat{A}_{ij} : Renormalized adjacency matrix

- IsoGCN's message passing:

- Scalar to vector

$$\begin{pmatrix} H_{\text{out},x} \\ H_{\text{out},y} \\ H_{\text{out},z} \end{pmatrix} = \begin{pmatrix} G_{::,x} \\ G_{::,y} \\ G_{::,z} \end{pmatrix} H_{\text{in}} W$$



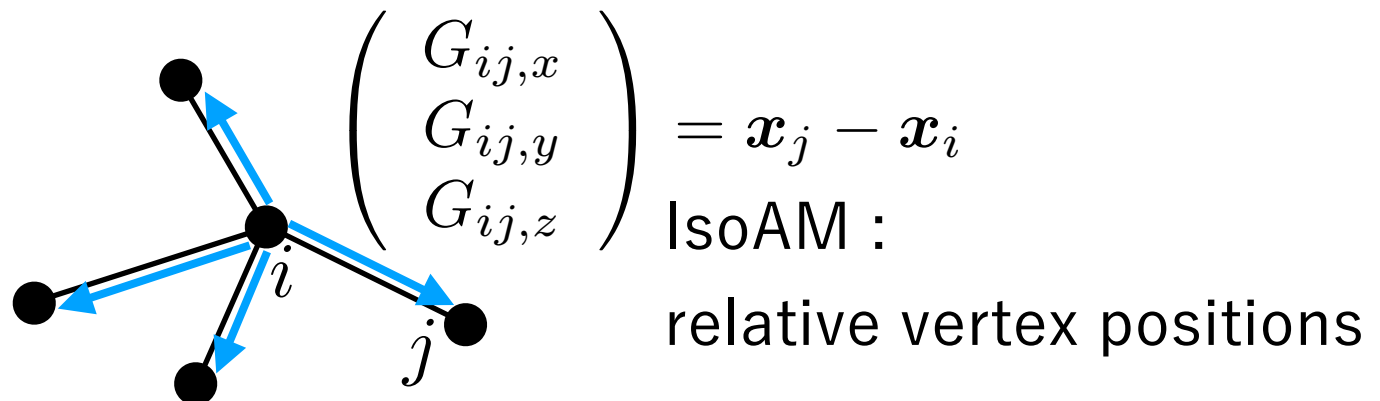
$$\begin{pmatrix} G_{ij,x} \\ G_{ij,y} \\ G_{ij,z} \end{pmatrix} = \mathbf{x}_j - \mathbf{x}_i$$

IsoAM :
relative vertex positions

Key Idea: GCN with Vector-Valued Adjacency Matrix

- GCN's message passing

$$H_{\text{out}} = \hat{A} H_{\text{in}} W$$



- IsoGCN's message passing:

- Scalar to vector

$$\begin{pmatrix} H_{\text{out},x} \\ H_{\text{out},y} \\ H_{\text{out},z} \end{pmatrix} = \begin{pmatrix} G_{::,x} \\ G_{::,y} \\ G_{::,z} \end{pmatrix} H_{\text{in}} W$$

- IsoGCN incorporates graphs' geometry information by simply replacing the adjacency matrices with IsoAMs

Key Idea: GCN with Vector-Valued Adjacency Matrix

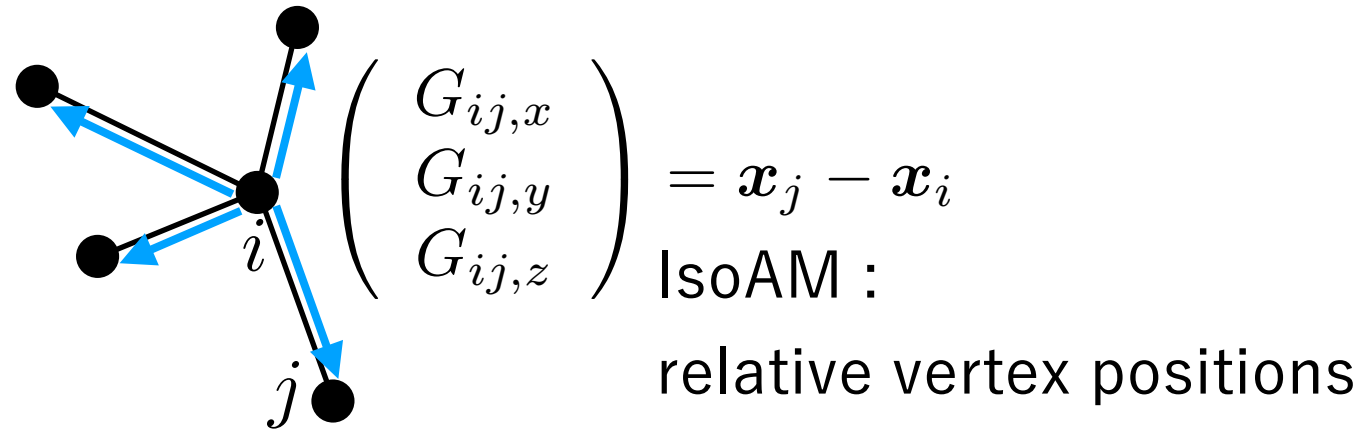
- GCN's message passing

$$H_{\text{out}} = \hat{A} H_{\text{in}} W$$

- IsoGCN's message passing:

- Scalar to vector

$$\begin{pmatrix} H_{\text{out},x} \\ H_{\text{out},y} \\ H_{\text{out},z} \end{pmatrix} = \begin{pmatrix} G_{::,x} \\ G_{::,y} \\ G_{::,z} \end{pmatrix} H_{\text{in}} W$$

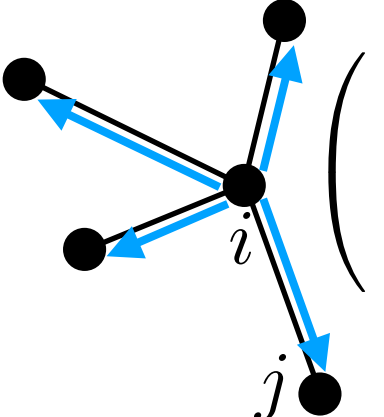


- IsoGCN incorporates graphs' geometry information by simply replacing the adjacency matrices with IsoAMs
 - IsoAM is equivariant

Key Idea: GCN with Vector-Valued Adjacency Matrix

- IsoGCN's message passing:

- Scalar to vector

$$\begin{pmatrix} H_{\text{out},x} \\ H_{\text{out},y} \\ H_{\text{out},z} \end{pmatrix} = \begin{pmatrix} G_{::,x} \\ G_{::,y} \\ G_{::,z} \end{pmatrix} H_{\text{in}} W$$


$$\begin{pmatrix} G_{ij,x} \\ G_{ij,y} \\ G_{ij,z} \end{pmatrix} = \mathbf{x}_j - \mathbf{x}_i$$

IsoAM :
relative vertex positions

- Vector to scalar

$$H_{\text{out}} = \begin{pmatrix} G_{::,x} \\ G_{::,y} \\ G_{::,z} \end{pmatrix} \cdot \begin{pmatrix} H_{\text{in},x} \\ H_{\text{in},y} \\ H_{\text{in},z} \end{pmatrix} W$$

- IsoGCN can convert any rank tensors to any rank tensors with keeping equivariance

- Scalar to rank-2 tensor

$$\begin{pmatrix} H_{\text{out},xx} & H_{\text{out},xy} & H_{\text{out},xz} \\ H_{\text{out},yx} & H_{\text{out},yy} & H_{\text{out},yz} \\ H_{\text{out},zx} & H_{\text{out},zy} & H_{\text{out},zz} \end{pmatrix} = \begin{pmatrix} G_{::,x}G_{::,x} & G_{::,x}G_{::,y} & G_{::,x}G_{::,z} \\ G_{::,y}G_{::,x} & G_{::,y}G_{::,y} & G_{::,y}G_{::,z} \\ G_{::,z}G_{::,x} & G_{::,z}G_{::,y} & G_{::,z}G_{::,z} \end{pmatrix} H_{\text{in}} W$$

IsoGCN：合同変換不变・同変な GCN

- 有限要素解析に適用するため
IsoAM の具体例 \tilde{D}_{ijk} を以下のように定義する

$$\tilde{D}_{ijk} = D_{ijk} - \delta_{ij} \sum_l D_{ilk}$$

$$D_{ijk} = M^{-1} \frac{x_{jk} - x_{ik}}{\|\boldsymbol{x}_j - \boldsymbol{x}_i\|^2} \frac{V_j^{\text{effective}}}{V_i^{\text{effective}}} A_{ij}$$

$$\boldsymbol{M}_i = \sum_l \frac{\boldsymbol{x}_l - \boldsymbol{x}_i}{\|\boldsymbol{x}_l - \boldsymbol{x}_i\|} \otimes \frac{\boldsymbol{x}_l - \boldsymbol{x}_i}{\|\boldsymbol{x}_l - \boldsymbol{x}_i\|} \frac{V_j^{\text{effective}}}{V_i^{\text{effective}}} A_{il}$$

IsoGCN：合同変換不变・同変な GCN

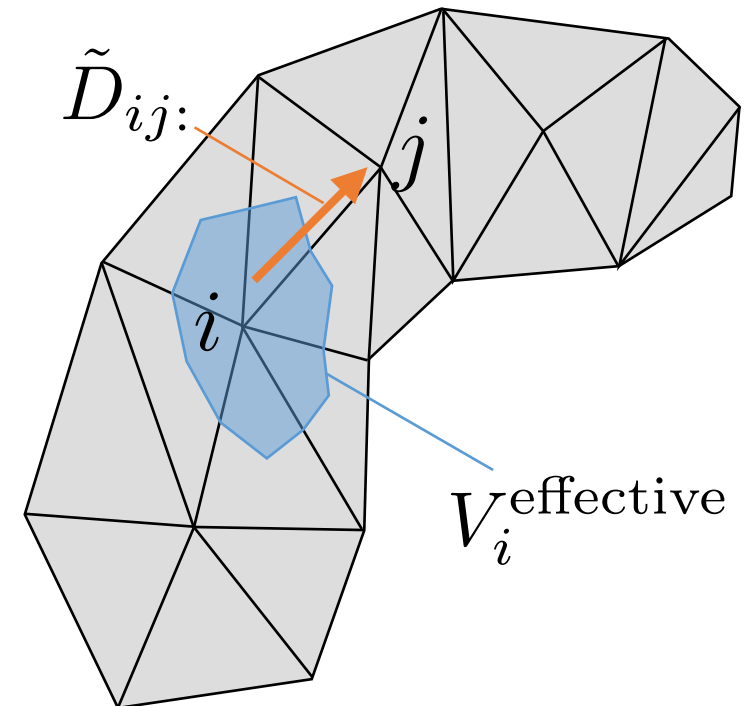
- 有限要素解析に適用するため
IsoAM の具体例 \tilde{D}_{ijk} を以下のように定義する

$$\tilde{D}_{ijk} = D_{ijk} - \delta_{ij} \sum_l D_{ilk}$$

$$D_{ijk} = M^{-1} \frac{x_{jk} - x_{ik}}{\|\mathbf{x}_j - \mathbf{x}_i\|^2} \frac{V_j^{\text{effective}}}{V_i^{\text{effective}}} A_{ij}$$

$$M_i = \sum_l \frac{\mathbf{x}_l - \mathbf{x}_i}{\|\mathbf{x}_l - \mathbf{x}_i\|} \otimes \frac{\mathbf{x}_l - \mathbf{x}_i}{\|\mathbf{x}_l - \mathbf{x}_i\|} \frac{V_j^{\text{effective}}}{V_i^{\text{effective}}} A_{il}$$

A : 隣接行列
 $V_i^{\text{effective}}$: 頂点 i の体積



IsoGCN：合同変換不变・同変な GCN

- 有限要素解析に適用するため
IsoAM の具体例 \tilde{D}_{ijk} を以下のように定義する

$$\tilde{D}_{ijk} = D_{ijk} - \delta_{ij} \sum_l D_{ilk}$$

$$D_{ijk} = M^{-1} \frac{x_{jk} - x_{ik}}{\|\mathbf{x}_j - \mathbf{x}_i\|^2} \frac{V_j^{\text{effective}}}{V_i^{\text{effective}}} A_{ij}$$

$$M_i = \sum_l \frac{\mathbf{x}_l - \mathbf{x}_i}{\|\mathbf{x}_l - \mathbf{x}_i\|} \otimes \frac{\mathbf{x}_l - \mathbf{x}_i}{\|\mathbf{x}_l - \mathbf{x}_i\|} \frac{V_j^{\text{effective}}}{V_i^{\text{effective}}} A_{il}$$

- \tilde{D} がナブラ演算子の離散化 (Tamai+ 2014) に対応している

$$\left\langle \frac{\partial \phi}{\partial x_k} \right\rangle_i := M_i^{-1} \sum_j \frac{\phi_j - \phi_i}{\|\mathbf{x}_j - \mathbf{x}_i\|} \frac{x_{jk} - x_{ik}}{\|\mathbf{x}_j - \mathbf{x}_i\|} \frac{V_j^{\text{effective}}}{V_i^{\text{effective}}} A_{ij} = \sum_j \tilde{D}_{ijk} \phi_j$$

IsoGCN：合同変換不变・同変な GCN

- 有限要素解析に適用するため
IsoAM の具体例 \tilde{D}_{ijk} を以下のように定義する

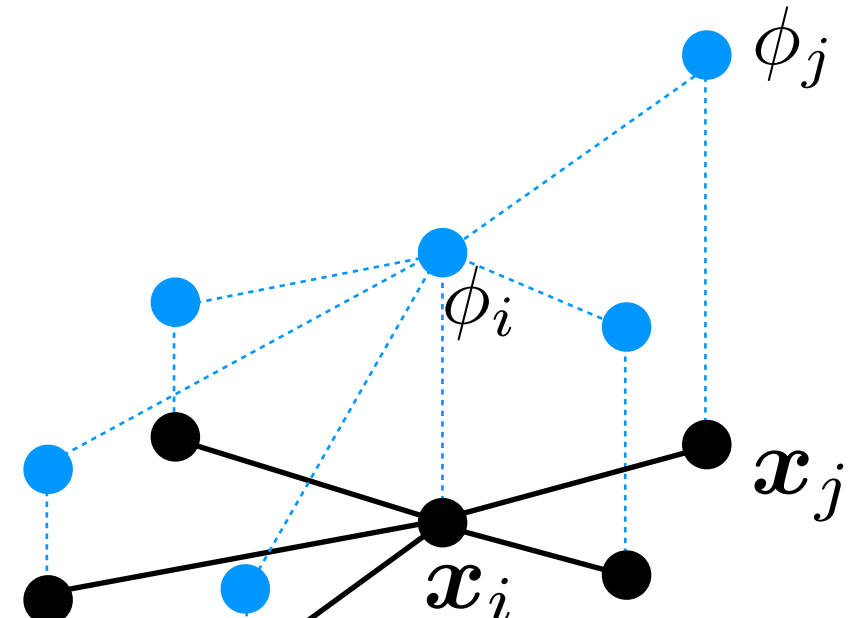
$$\tilde{D}_{ijk} = D_{ijk} - \delta_{ij} \sum_l D_{ilk}$$

$$D_{ijk} = M^{-1} \frac{x_{jk} - x_{ik}}{\|\mathbf{x}_j - \mathbf{x}_i\|^2} \frac{V_j^{\text{effective}}}{V_i^{\text{effective}}} A_{ij}$$

$$M_i = \sum_l \frac{\mathbf{x}_l - \mathbf{x}_i}{\|\mathbf{x}_l - \mathbf{x}_i\|} \otimes \frac{\mathbf{x}_l - \mathbf{x}_i}{\|\mathbf{x}_l - \mathbf{x}_i\|} \frac{V_j^{\text{effective}}}{V_i^{\text{effective}}} A_{il}$$

- \tilde{D} がナブラ演算子の離散化 (Tamai+ 2014) に対応している

$$\left\langle \frac{\partial \phi}{\partial x_k} \right\rangle_i := M_i^{-1} \sum_j \frac{\phi_j - \phi_i}{\|\mathbf{x}_j - \mathbf{x}_i\|} \frac{x_{jk} - x_{ik}}{\|\mathbf{x}_j - \mathbf{x}_i\|} \frac{V_j^{\text{effective}}}{V_i^{\text{effective}}} A_{ij} = \sum_j \tilde{D}_{ijk} \phi_j$$



IsoGCN：合同変換不变・同変な GCN

- 有限要素解析に適用するため
IsoAM の具体例 \tilde{D}_{ijk} を以下のように定義する

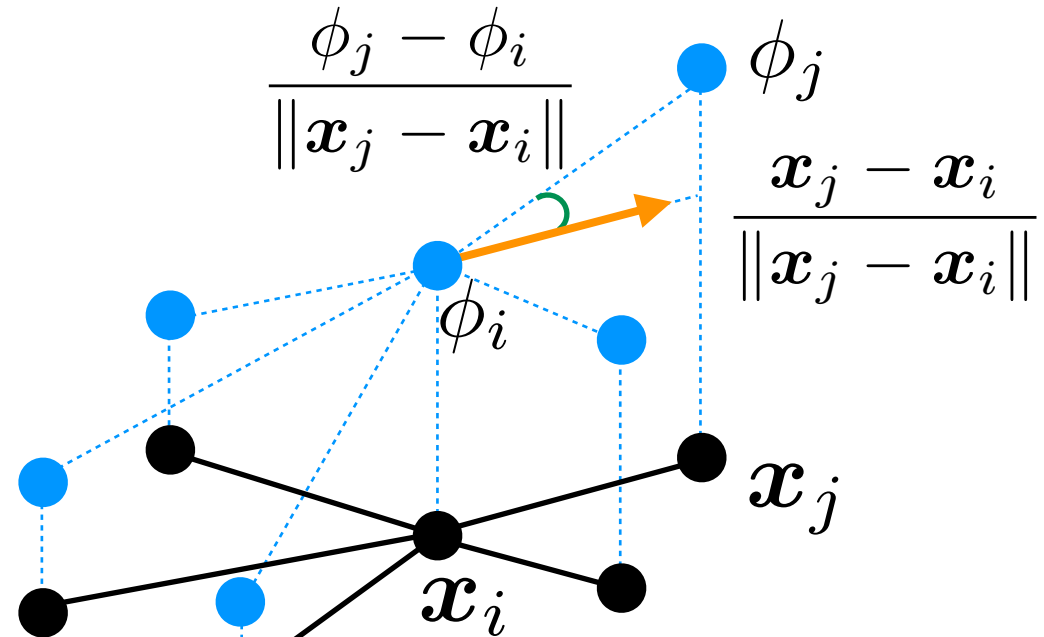
$$\tilde{D}_{ijk} = D_{ijk} - \delta_{ij} \sum_l D_{ilk}$$

$$D_{ijk} = M^{-1} \frac{x_{jk} - x_{ik}}{\|\mathbf{x}_j - \mathbf{x}_i\|^2} \frac{V_j^{\text{effective}}}{V_i^{\text{effective}}} A_{ij}$$

$$M_i = \sum_l \frac{\mathbf{x}_l - \mathbf{x}_i}{\|\mathbf{x}_l - \mathbf{x}_i\|} \otimes \frac{\mathbf{x}_l - \mathbf{x}_i}{\|\mathbf{x}_l - \mathbf{x}_i\|} \frac{V_j^{\text{effective}}}{V_i^{\text{effective}}} A_{il}$$

- \tilde{D} がナブラ演算子の離散化 (Tamai+ 2014) に対応している

$$\left\langle \frac{\partial \phi}{\partial x_k} \right\rangle_i := M_i^{-1} \sum_j \frac{\phi_j - \phi_i}{\|\mathbf{x}_j - \mathbf{x}_i\|} \frac{x_{jk} - x_{ik}}{\|\mathbf{x}_j - \mathbf{x}_i\|} \frac{V_j^{\text{effective}}}{V_i^{\text{effective}}} A_{ij} = \sum_j \tilde{D}_{ijk} \phi_j$$



IsoGCN：合同変換不变・同変な GCN

- 有限要素解析に適用するため
IsoAM の具体例 \tilde{D}_{ijk} を以下のように定義する

$$\tilde{D}_{ijk} = D_{ijk} - \delta_{ij} \sum_l D_{ilk}$$

$$D_{ijk} = M^{-1} \frac{x_{jk} - x_{ik}}{\|\mathbf{x}_j - \mathbf{x}_i\|^2} \frac{V_j^{\text{effective}}}{V_i^{\text{effective}}} A_{ij}$$

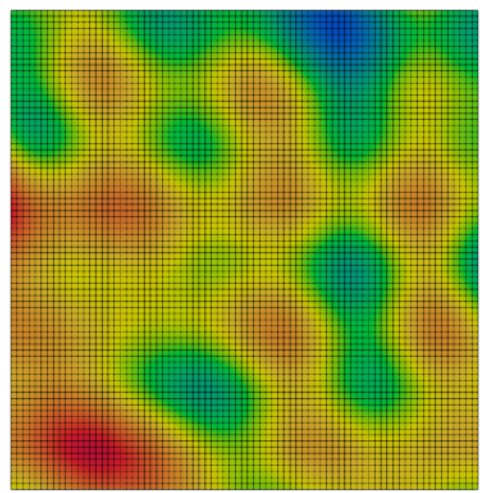
$$M_i = \sum_l \frac{\mathbf{x}_l - \mathbf{x}_i}{\|\mathbf{x}_l - \mathbf{x}_i\|} \otimes \frac{\mathbf{x}_l - \mathbf{x}_i}{\|\mathbf{x}_l - \mathbf{x}_i\|} \frac{V_j^{\text{effective}}}{V_i^{\text{effective}}} A_{il}$$

- \tilde{D} がナブラ演算子の離散化 (Tamai+ 2014) に対応している

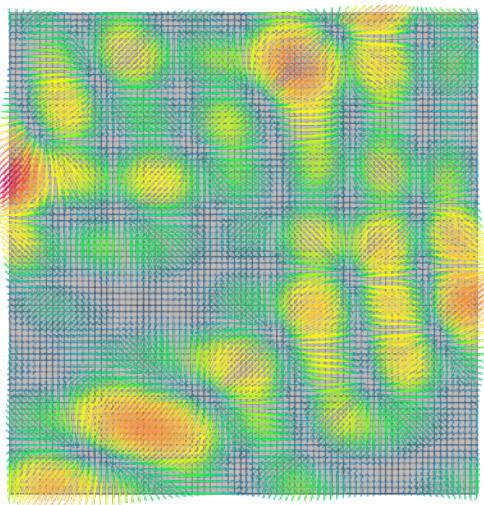
$$\left\langle \frac{\partial \phi}{\partial x_k} \right\rangle_i := M_i^{-1} \sum_j \frac{\phi_j - \phi_i}{\|\mathbf{x}_j - \mathbf{x}_i\|} \frac{x_{jk} - x_{ik}}{\|\mathbf{x}_j - \mathbf{x}_i\|} \frac{V_j^{\text{effective}}}{V_i^{\text{effective}}} A_{ij} = \sum_j \tilde{D}_{ijk} \phi_j$$

Differential op.	Expression
Gradient	$\tilde{\mathbf{D}} * \mathbf{H}^{(0)}$
Divergence	$\tilde{\mathbf{D}} \odot \mathbf{H}^{(1)}$
Laplacian	$\tilde{\mathbf{D}} \odot \tilde{\mathbf{D}} \mathbf{H}^{(0)}$
Jacobian	$\tilde{\mathbf{D}} \otimes \mathbf{H}^{(1)}$
Hessian	$\tilde{\mathbf{D}} \otimes \tilde{\mathbf{D}} * \mathbf{H}^{(0)}$

実験：微分演算子の学習



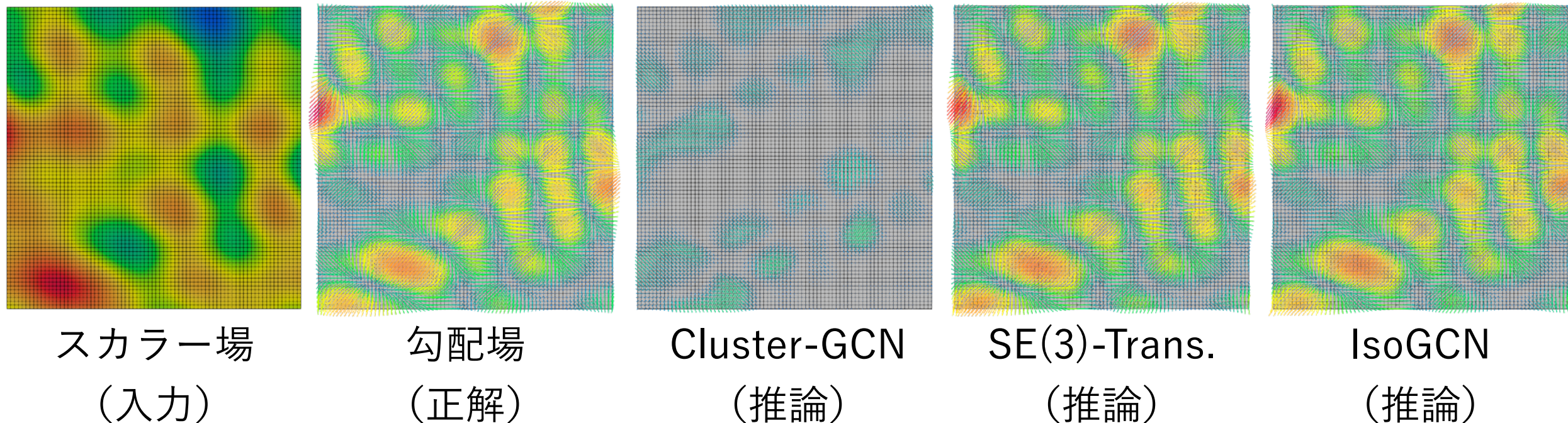
スカラー場
(入力)



勾配場
(正解)

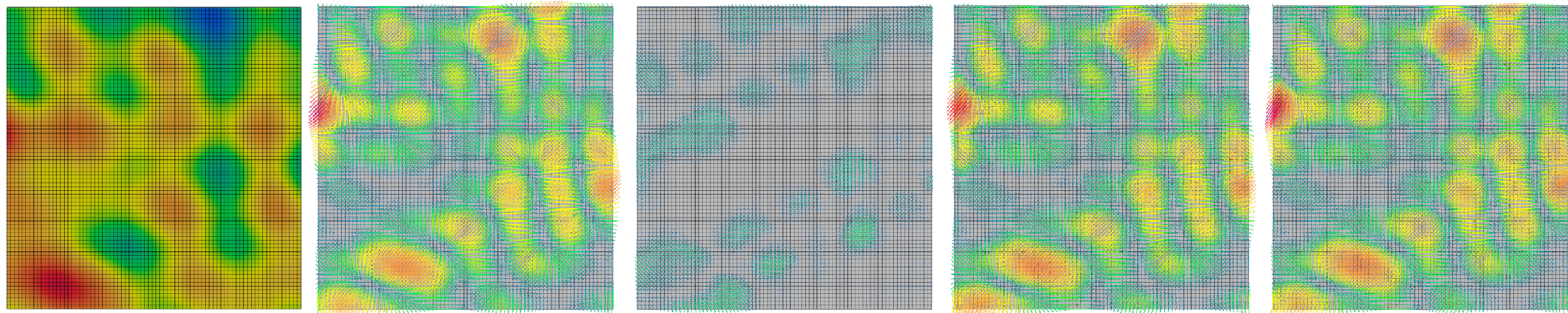
- X、Y 方向に 10 ~ 100 要素ある
グリッドメッシュをランダムに生成
- ランダムなフーリエ級数で
スカラー場を生成
- 微分を解析的に計算
- training、validation、test dataset
はそれぞれ 100 サンプル

実験：微分演算子の学習



- 既存の GCN 系の手法では空間の情報を扱えないが IsoGCN では可能

実験：微分演算子の学習



スカラー場
(入力)

勾配場
(正解)

Cluster-GCN
(推論)

SE(3)-Trans.
(推論)

IsoGCN
(推論)

100 サンプルの推論時間 :

4.0 s

0.4 s

- 既存の GCN 系の手法では空間の情報を扱えないが IsoGCN では可能

実験：微分演算子の学習

Method	# hops	x	スカラー	スカラー	勾配	勾配
			↓	↓	↓	↓
			勾配	ヘッシアン	ラプラシアン	ヘッシアン
			Loss of 0 → 1 $\times 10^{-5}$	Loss of 0 → 2 $\times 10^{-6}$	Loss of 1 → 0 $\times 10^{-6}$	Loss of 1 → 2 $\times 10^{-6}$
GIN	5	Yes	147.07 ± 0.51	47.35 ± 0.35	404.92 ± 1.74	46.18 ± 0.39
GCNII	5	Yes	151.13 ± 0.53	31.87 ± 0.22	280.61 ± 1.30	39.38 ± 0.34
SGCN	5	Yes	151.16 ± 0.53	55.08 ± 0.42	127.21 ± 0.63	56.97 ± 0.44
GCN	5	Yes	151.14 ± 0.53	48.50 ± 0.35	542.30 ± 2.14	25.37 ± 0.28
Cluster-GCN	5	Yes	146.91 ± 0.51	26.60 ± 0.19	185.21 ± 0.99	18.18 ± 0.20
TFN	2	No	2.47 ± 0.02	OOM	26.69 ± 0.24	OOM
	5	No	OOM	OOM	OOM	OOM
SE(3)-Trans.	2	No	1.79 ± 0.02	3.50 ± 0.04	2.52 ± 0.02	OOM
	5	No	2.12 ± 0.02	OOM	7.66 ± 0.05	OOM
IsoGCN (Ours)	2	No	2.67 ± 0.02	6.37 ± 0.07	7.18 ± 0.06	1.44 ± 0.02
	5	No	14.19 ± 0.10	21.72 ± 0.25	34.09 ± 0.19	8.32 ± 0.09

- 既存の GCN 系の手法では空間の情報を扱えないが IsoGCN では可能

実験：微分演算子の学習

スカラー



勾配

$0 \rightarrow 1$

スカラー



ヘッシャン

$0 \rightarrow 2$

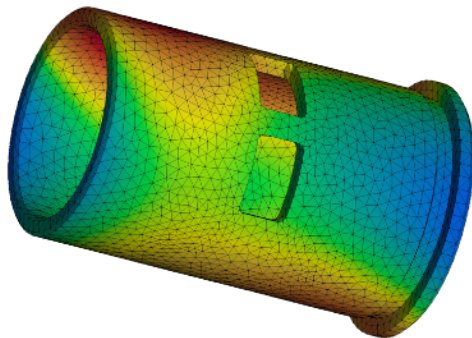
Method	# parameters	Inference time [s]	# parameters	Inference time [s]
TFN	5264	3.8	5220	OOM
SE(3)-Trans.	5392	4.0	5265	9.2
IsoGCN (Ours)	4816	0.4	4816	0.7

- IsoGCN は TFN、SE(3)-Transformer (TFN の改良) より高速

実験：非定常・異方的・非線型熱拡散問題

$$\Omega \subset \mathbb{R}^3,$$

初期条件

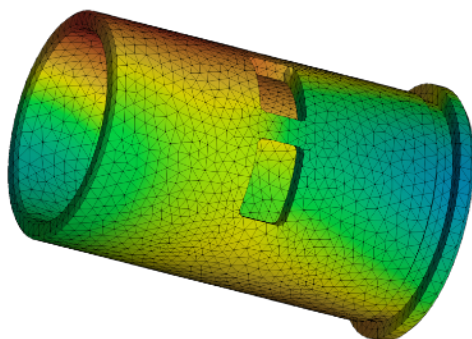


$$\frac{\partial T(\boldsymbol{x}, t)}{\partial t} = \nabla \cdot \boldsymbol{C}(T(\boldsymbol{x}, t)) \nabla T(\boldsymbol{x}, t) \quad \text{in } \Omega,$$

$$T(\boldsymbol{x}, t = 0) = T_{\text{init}}(\boldsymbol{x}) \quad \text{in } \Omega,$$

$$\nabla T(\boldsymbol{x}, t)|_{\boldsymbol{x}=\boldsymbol{x}_b} \cdot \boldsymbol{n}(\boldsymbol{x}_b) = 0 \quad \text{on } \partial\Omega$$

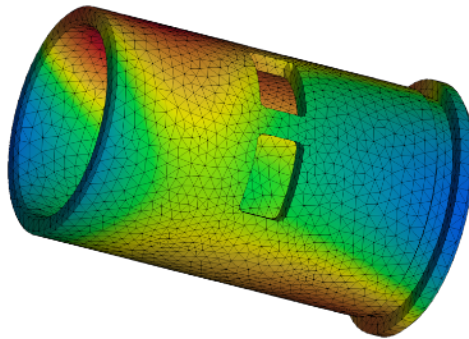
有限要素解析



実験：非定常・異方的・非線型熱拡散問題

$$\Omega \subset \mathbb{R}^3,$$

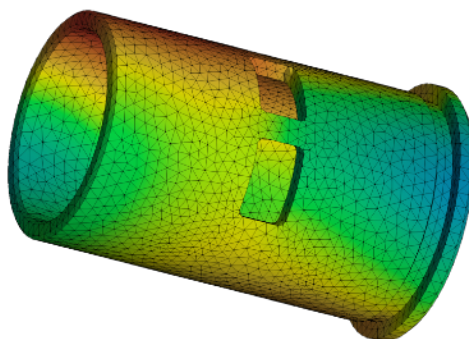
初期条件



$$T(\mathbf{x}, t = 0) = T_{\text{init}}(\mathbf{x}) \quad \text{in } \Omega,$$

$$\nabla T(\mathbf{x}, t) \Big|_{\mathbf{x}=\mathbf{x}_b} \cdot \mathbf{n}(\mathbf{x}_b) = 0 \quad \text{on } \partial\Omega$$

有限要素解析

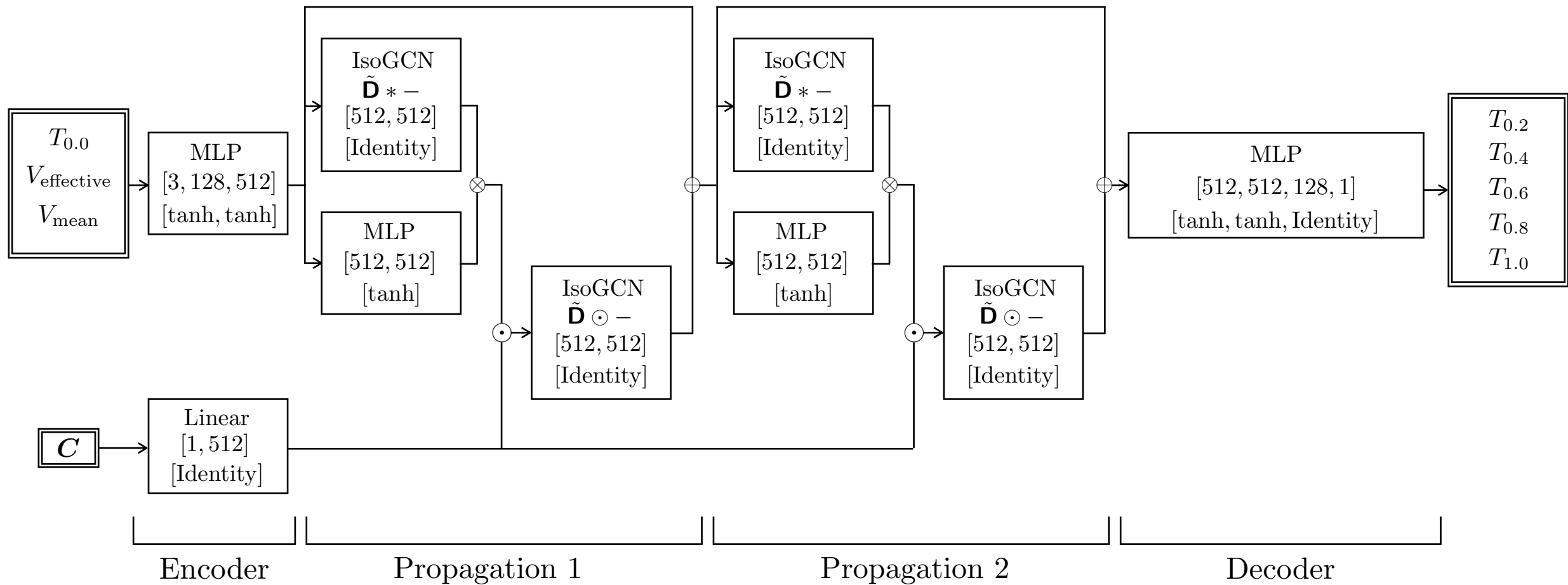


- ABC dataset (Koch+ 2018) から CAD データを抽出

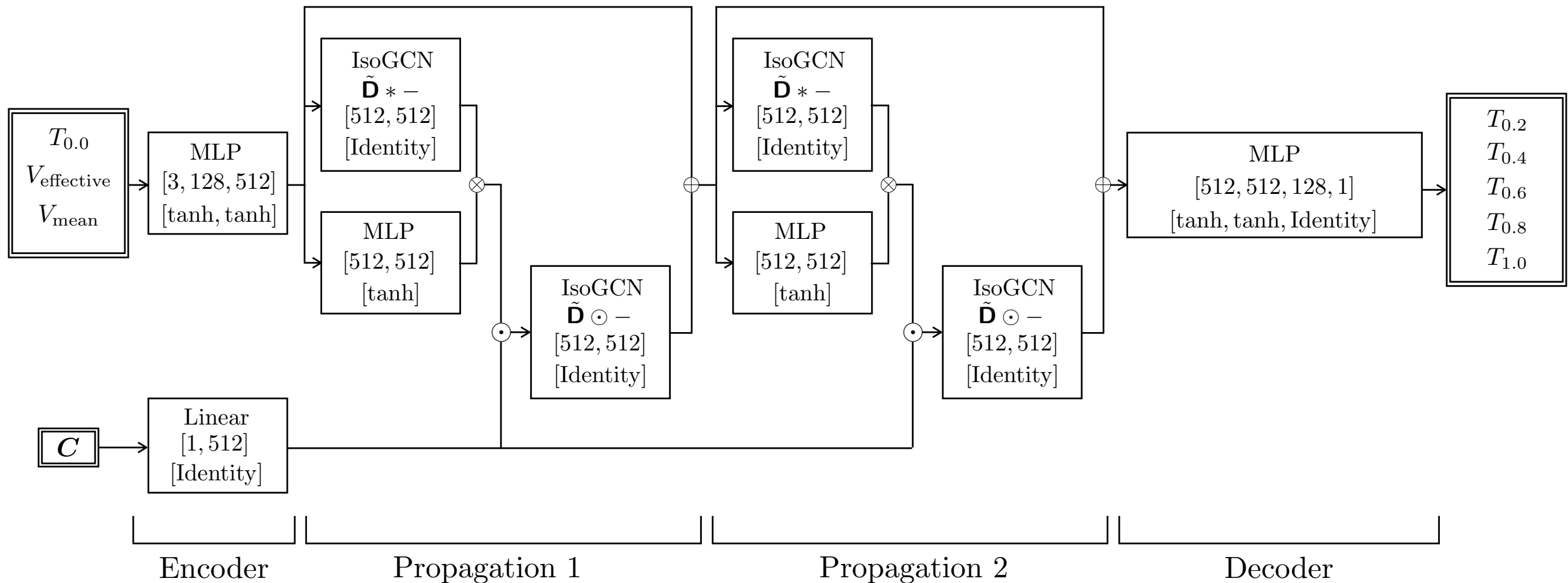
- CAD 形状ひとつにつきメッシュサイズ 3 通り
初期条件 3 通りの最大 9 サンプルを生成

- Training dataset: 50 形状、439 サンプル
- Validation dataset: 16 形状、143 サンプル
- Test dataset: 16 shapes、140 サンプル

実験：非定常・異方的・非線型熱拡散問題



実験：非定常・異方的・非線型熱拡散問題

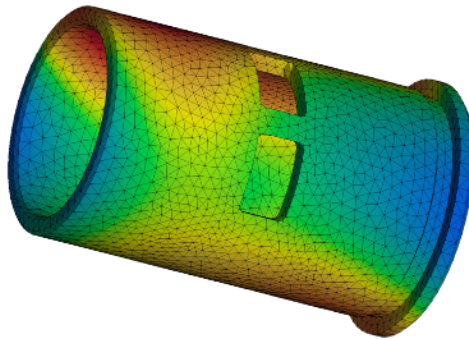


$$T(\mathbf{x}, t + \Delta t) \simeq T(\mathbf{x}, t) + \nabla \cdot \mathbf{C}(T(\mathbf{x}, t)) \nabla T(\mathbf{x}, t) \Delta t$$

実験：非定常・異方的・非線型熱拡散問題

$$\Omega \subset \mathbb{R}^3,$$

初期条件

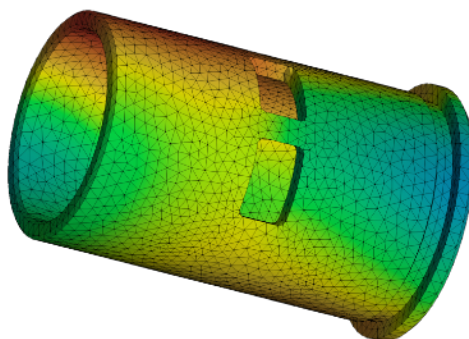


$$\frac{\partial T(\boldsymbol{x}, t)}{\partial t} = \nabla \cdot \boldsymbol{C}(T(\boldsymbol{x}, t)) \nabla T(\boldsymbol{x}, t) \quad \text{in } \Omega,$$

$$T(\boldsymbol{x}, t = 0) = T_{\text{init}}(\boldsymbol{x}) \quad \text{in } \Omega,$$

$$\nabla T(\boldsymbol{x}, t)|_{\boldsymbol{x}=\boldsymbol{x}_b} \cdot \boldsymbol{n}(\boldsymbol{x}_b) = 0 \quad \text{on } \partial\Omega$$

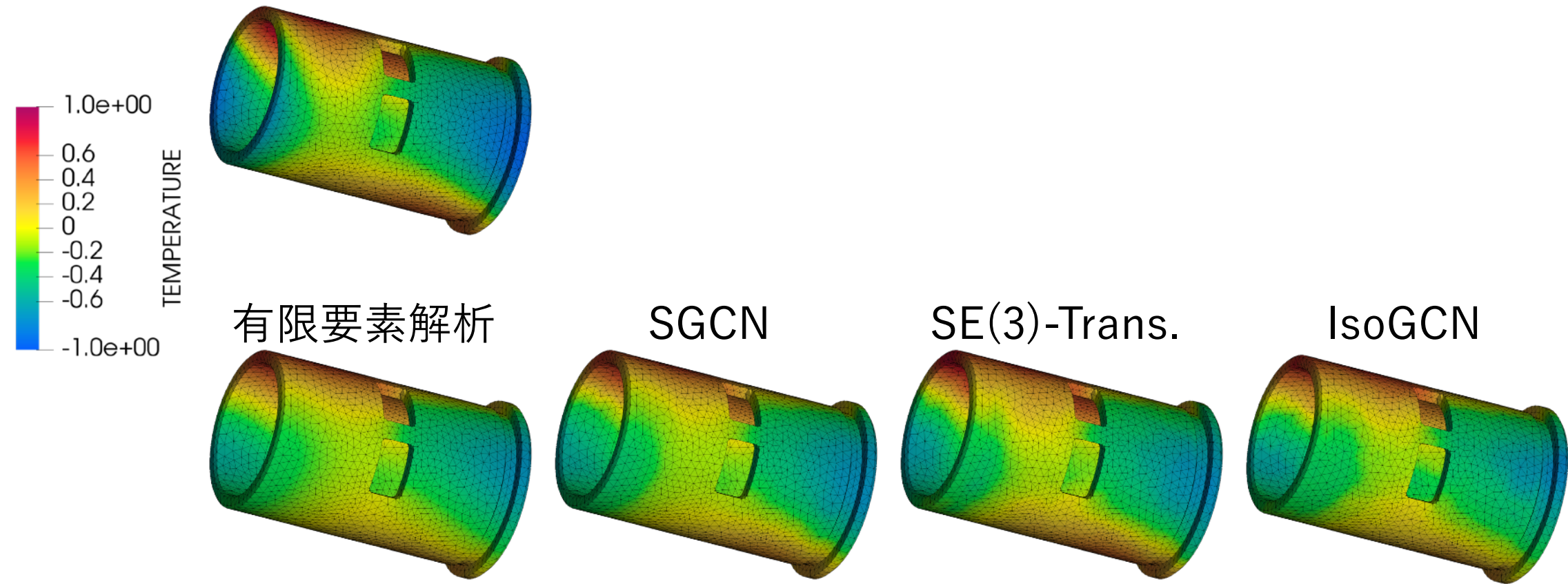
有限要素解析



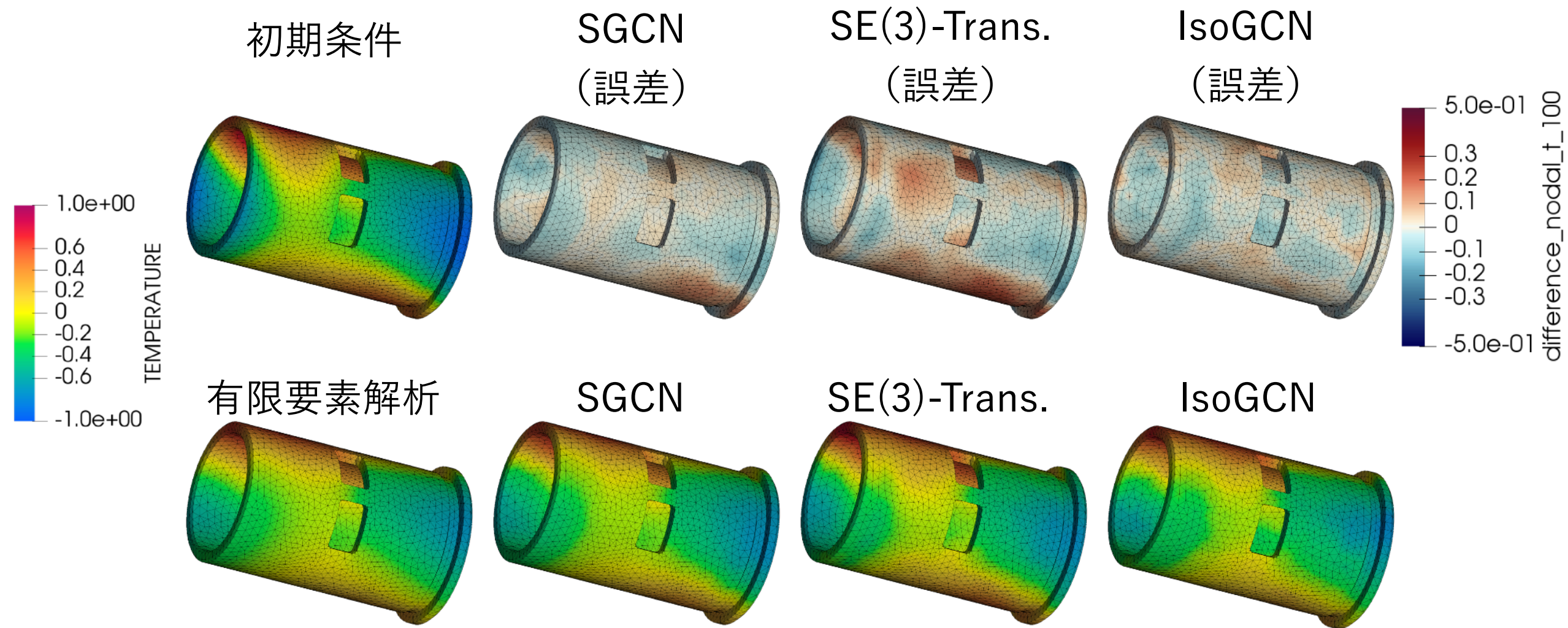
- ABC dataset (Koch+ 2018) から CAD データを抽出
- CAD 形状ひとつにつきメッシュサイズ 3 通り
初期条件 3 通りの最大 9 サンプルを生成
 - Training dataset: 50 形状、439 サンプル
 - Validation dataset: 16 形状、143 サンプル
 - Test dataset: 16 shapes、140 サンプル

実験：非定常・異方的・非線型熱拡散問題

初期条件

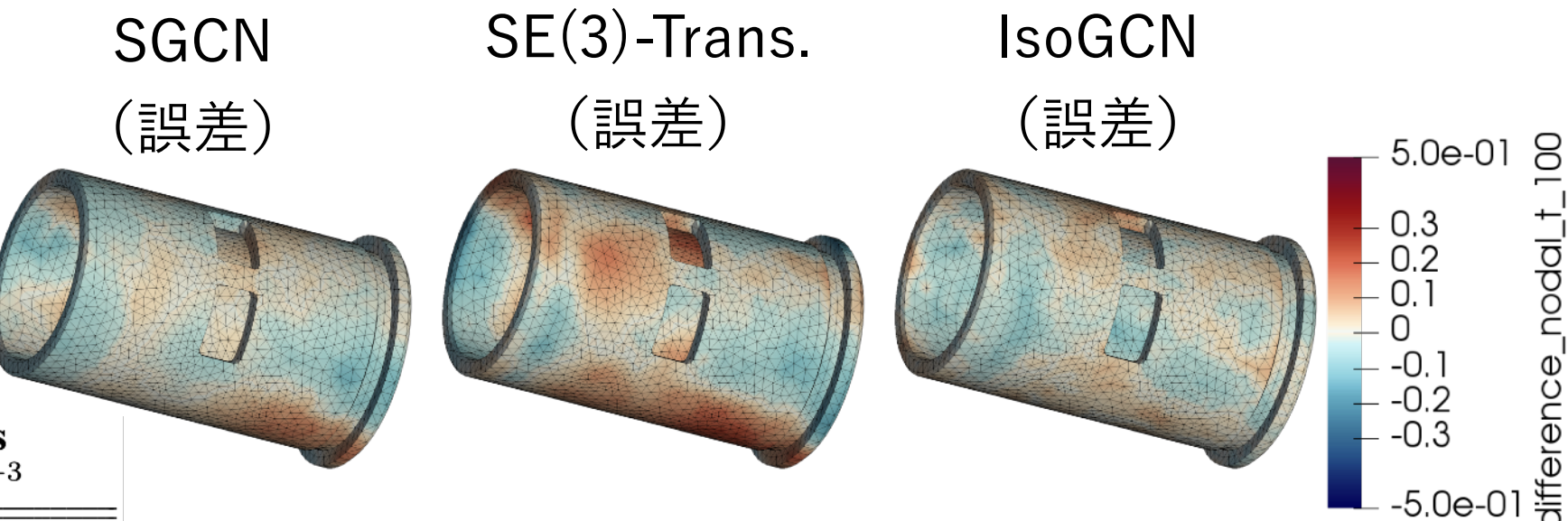


実験：非定常・異方的・非線型熱拡散問題



実験：非定常・異方的・非線型熱拡散問題

Method	# hops	x	Loss $\times 10^{-3}$
GIN	2	No	16.921 ± 0.040
GCN	2	No	10.427 ± 0.028
GCNII	5	No	8.377 ± 0.024
Gluster-GCN	2	No	7.266 ± 0.021
SGCN	5	No	6.426 ± 0.018
TFN	2	No	15.661 ± 0.019
	5	No	OOM
SE(3)-Trans.	2	No	14.164 ± 0.018
	5	No	OOM
IsoGCN (Ours)	2	No	4.674 ± 0.014
	5	No	2.470 ± 0.008



- IsoGCN は既存手法と比較して高精度
- ただし、TFN と SE(3)-Transformer はメモリに載せるためにパラメータ数を少なくしている

実験：非定常・異方的・非線型熱拡散問題

- IsoGCN は同等の精度となるセッティングの FrontISTR と比較して高速
- TFN・SE(3)-Transformer は大規模メッシュでは Out-of-Memory (500 GB)

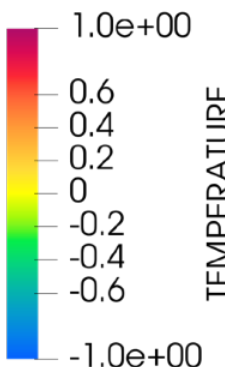
Method	$ \mathcal{V} = 21,289$		$ \mathcal{V} = 155,019$		$ \mathcal{V} = 1,011,301$	
	Loss $\times 10^{-4}$	Time [s]	Loss $\times 10^{-4}$	Time [s]	Loss $\times 10^{-4}$	Time [s]
FrontISTR ($\Delta t = 1.0$)	10.9	16.7	6.1	181.7	2.9	1656.5
FrontISTR ($\Delta t = 0.5$)	0.8	30.5	0.4	288.0	0.2	2884.2
TFN	77.9	46.1	30.1	400.9	OOM	OOM
SE(3)-Transformer	111.4	31.2	80.3	271.1	OOM	OOM
IsoGCN (Ours)	8.1	7.4	4.9	84.1	3.9	648.4

実験：非定常・異方的・非線型熱拡散問題

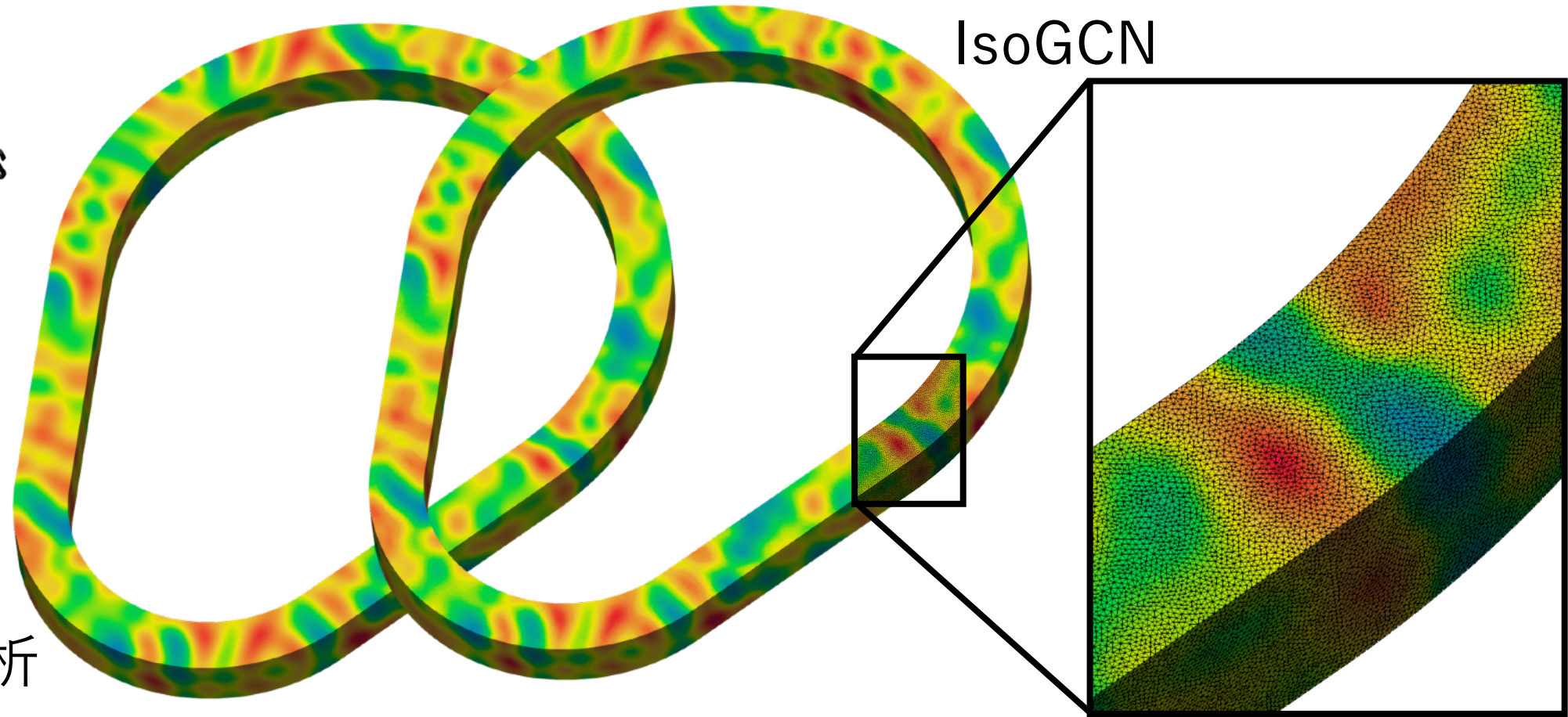
- 学習データサンプルより大きなメッシュに対しても外挿可能

学習データ

サンプル s



有限要素解析



目次

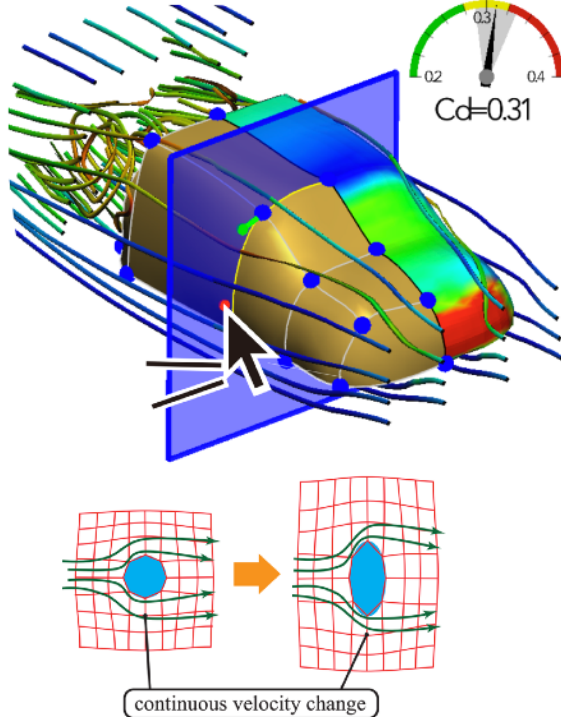
- Graph neural network
- 同変性
- IsoGCN: 同変性 + Graph Neural Network
- まとめ

目次

- Graph neural network
- 同変性
- IsoGCN: 同変性 + Graph Neural Network
- まとめ

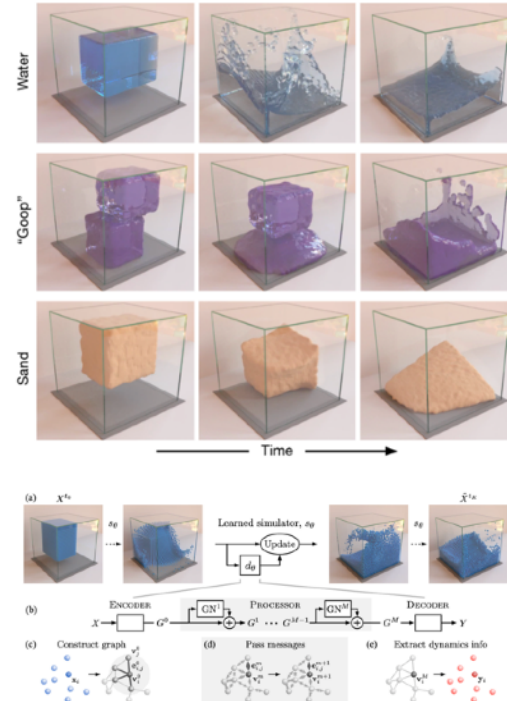
関連研究：物理シミュレーションの機械学習

→ Graph Neural Network の適用



Umetani+ 2018

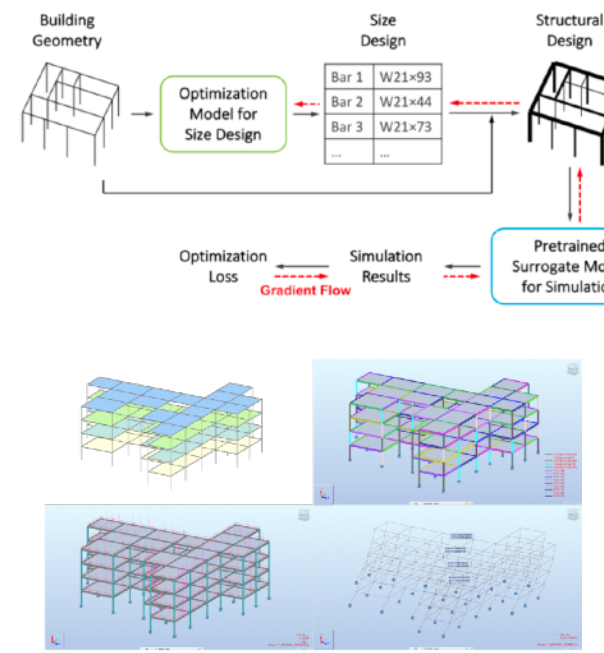
- リアルタイムで車体の空力性能予測
- メッシュ構造固定



Sanchez-Gonzalez+ 2020

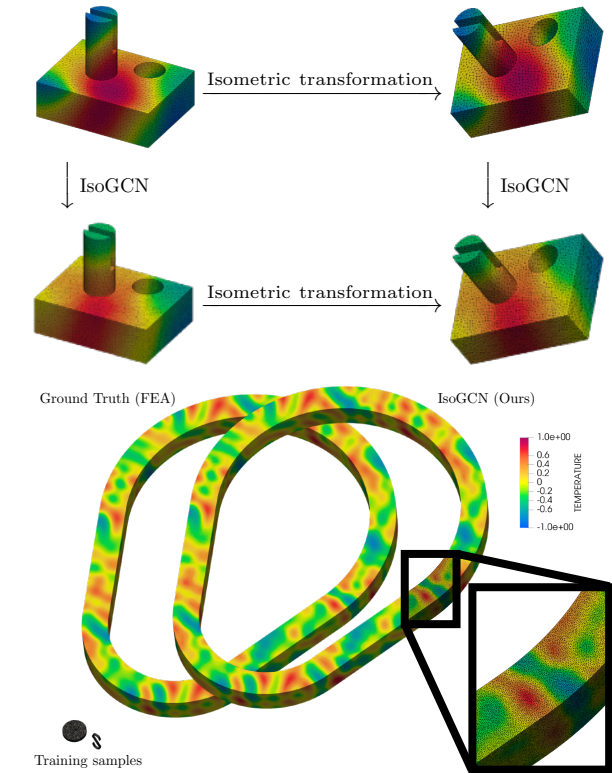
- 任意点群での学習
- 高速化は未達成

→ 同変性の導入



Chang+ 2020

- 任意梁構造での学習
- 梁部材選定の最適化

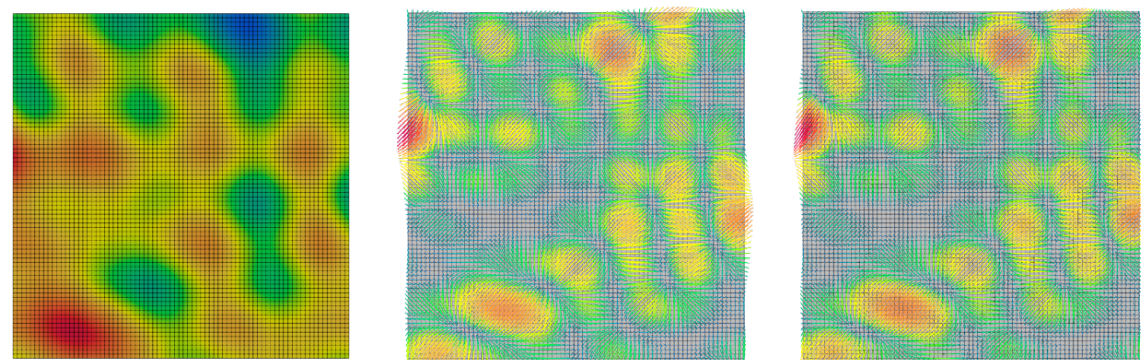


Horie+ 2020

- 任意メッシュでの学習
- 高速化を達成
- 物理現象の対称性を考慮

概要：対称性があり計算効率のよい GNN を開発

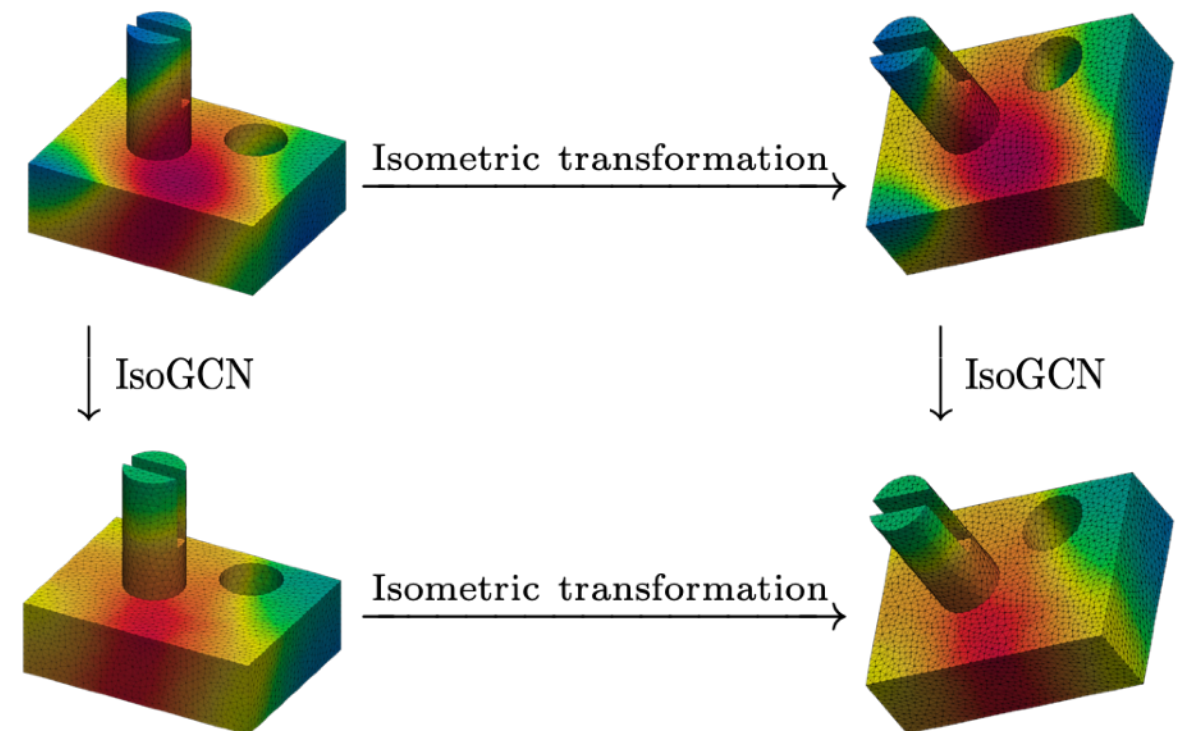
- IsoGCN: 合同変換不变・同変で計算効率のよい GNN (Horie+ 2020)
- IsoGCN は同等の精度の有限要素解析より高速
- IsoGCN は微分演算子の近似とみなせる



スカラー場
(入力)

勾配
(正解)

勾配
(推論)

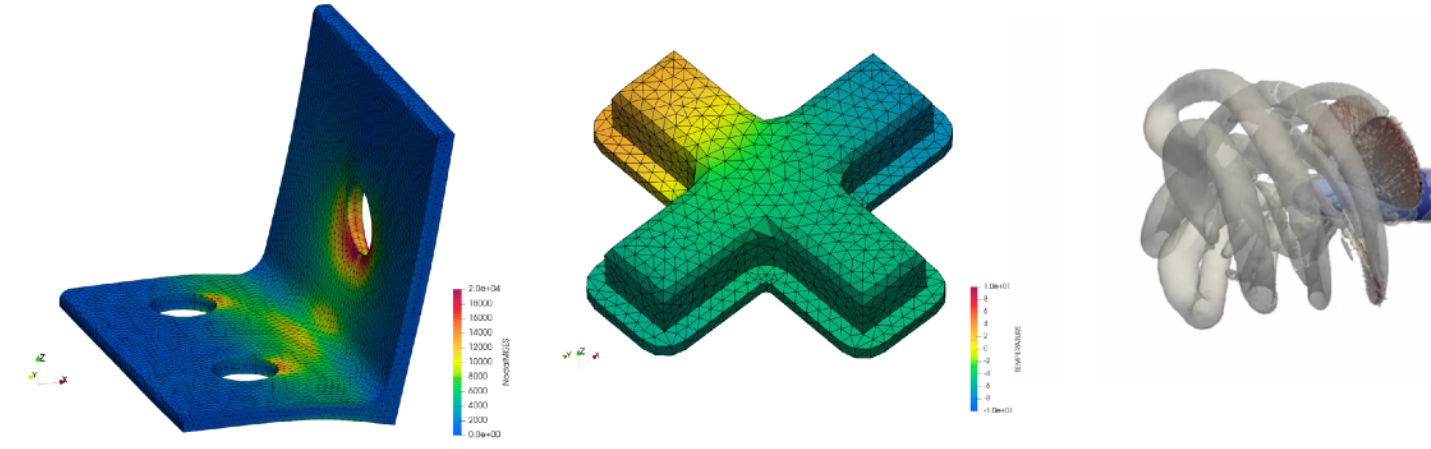


概要：対称性があり計算効率のよい GNN を開発

- IsoGCN: 合同変換不变・同変で計算効率のよい GNN (Horie+ 2020)
- IsoGCN は同等の精度の有限要素解析より高速
- IsoGCN は微分演算子の近似とみなせる

今後の展望：

- IsoGCN の近似性能を評価
- IsoGCN を多様な物理現象へ適用



References

- N. Umetani, and B. Bickel. Learning three-dimensional flow for interactive aerodynamic design. ACM Transactions on Graphics (TOG) 37.4: 1-10, 2018.
- A. Sanchez-Gonzalez, J. Godwin, T. Pfaff, R. Ying, J. Leskovec, and P. W. Battaglia. Learning to simulate complex physics with graph networks. In ICML, 2020.
- K. Chang and C. Cheng. Learning to simulate and design for structural engineering. In ICML, 2020.
- M. Horie, N. Morita, T. Hishinuma, Y. Ihara, and N. Mitsume. Isometric Transformation Invariant and Equivariant Graph Convolutional Networks. arXiv preprint arXiv:2005.06316, 2020.
- E. Ahmed, A. Saint, A. E. R. Shabayek, K. Cherenkova, R. Das, G. Gusev, D. Aouada and B. Ottersten. Deep Learning Advances on Different 3D Data Representations: A Survey. arXiv preprint arXiv:1808.01462, 2018.
- T. N. Kipf, and M. Welling. Semi-supervised classification with graph convolutional networks. In ICLR, 2017.
- N. Thomas, T. Smidt, S. Kearnes, L. Yang, L. Li, K. Kohlhoff, and P. Riley. Tensor field networks: Rotation-and translation-equivariant neural networks for 3d point clouds. arXiv preprint arXiv:1802.08219, 2018.
- N. Dym, and H. Maron. On the Universality of Rotation Equivariant Point Cloud Networks. arXiv preprint arXiv:2010.02449, 2020.
- T. Tamai and S. Koshizuka. Least squares moving particle semi-implicit method. Computational Particle Mechanics, 1(3):277–305, 2014.
- S. Koch, A. Matveev, Z. Jiang, F. Williams, A. Artemov, E. Burnaev, M. Alexa, D. Zorin, and D. Panozzo. Abc: A big cad model dataset for geometric deep learning. In The IEEE Conference on Computer Vision and Pattern Recognition (CVPR), June 2019.